



รายงานการวิจัย

การออกแบบและทดสอบระบบทำความร้อนสำหรับกอกถูกสุกรในโรงเรือน
คัดลอกโดยใช้ความร้อนจากน้ำหล่อเย็นของเครื่องยนต์

(Design and Testing of the Heating System for Piglet Farrowing
House Using a Heat Source from the Cooling Water of Engine)

ให้รับทุนอุดหนุนการวิจัยจาก
มหาวิทยาลัยเทคโนโลยีสุรนารี

ผลงานวิจัยเป็นผลงานวิจัยพิสูจน์ของหัวหน้าโครงการ อาจารย์ผู้ดีบัว



รายงานการวิจัย

การออกแบบและทดสอบระบบทำความร้อนสำหรับกลุ่มสุกรในโรงเรือน
คลอดโดยใช้ความร้อนจากน้ำหล่อเย็นของเครื่องยนต์

(Design and Testing of the Heating System for Piglet Farrowing
House Using a Heat Source from the Cooling Water of Engine)

คณะผู้วิจัย

หัวหน้าโครงการ

ผู้ช่วยศาสตราจารย์ ดร. วีรชัย อชาหาญ
สาขาวิชาวิศวกรรมเกษตร
สำนักวิชาวิศวกรรมศาสตร์
มหาวิทยาลัยเทคโนโลยีสุรนารี

ผู้ร่วมวิจัย

ดร. พงษ์ศักดิ์ จุลย์เสน
นายพรมยา ลินลัน
นายจรุณศักดิ์ สมพงษ์

ได้รับทุนอุดหนุนการวิจัยจากมหาวิทยาลัยเทคโนโลยีสุรนารี ปีงบประมาณ พ.ศ. 2549

ผลงานวิจัยเป็นความรับผิดชอบของหัวหน้าโครงการวิจัยแต่เพียงผู้เดียว

กิตติกรรมประกาศ

การวิจัยครั้งนี้ได้รับทุนอุดหนุนการวิจัยจากมหาวิทยาลัยเทคโนโลยีสุรนารี ปีงบประมาณ 2549 ผู้วิจัยขอขอบคุณ นายสมชาย นิติกานยจนา กรรมการผู้จัดการ บริษัท เอสพีเอ็ม อาหารสัตว์ จำกัด อำเภอปากท่อ จังหวัดราชบุรี ที่อนุมัติรายหอดูแลภาระและสถานที่สำหรับทำการวิจัย นายคงเดช พะสีนาม และนายเฉลิมพล เมืองมุงคุณ นักศึกษาสาขาวิชาศึกษาท่องเที่ยวที่เก็บรวบรวมข้อมูล

บทคัดย่อ

งานวิจัยนี้เป็นการศึกษาระบบททำความร้อนสำหรับกําลังสูตรในโรงเรือนคลอด ซึ่งมีวัตถุประสงค์เพื่อ ออกแบบและทดสอบระบบกําลังสูตรสำหรับใช้ในโรงเรือนคลอด โดยการนำความร้อนที่เหลือทึ้งจากเครื่องยนต์แก๊สชีวภาพมาใช้เป็นแหล่งความร้อน การศึกษาแบ่งออกเป็น 3 ส่วน คือ 1) การศึกษาประสิทธิภาพของระบบผลิตไฟฟ้าร่วมกับพลังงานความร้อนด้วยแก๊สชีวภาพ 2) การศึกษาคุณสมบัติทางกายภาพของแผ่นกําลัง และ 3) การติดตั้งและทดสอบประสิทธิภาพของระบบกําลังสูตรในโรงเรือนคลอด

จากการทดลองพบว่า สภาพการทำงานที่ 60 kW เป็นสภาพที่เหมาะสมสำหรับการผลิตไฟฟ้า เพราะมีค่าประสิทธิภาพการผลิตไฟฟ้าสูงสุดเท่ากับ 14% และอัตราการสิ้นเปลืองเชื้อเพลิงจำพวกในการผลิตไฟฟ้าเท่ากับ $1.22 \text{ m}^3/\text{kWh}$ ผลการทดสอบแสดงให้เห็นว่า การผลิตไฟฟ้าร่วมกับพลังงานความร้อนทำให้ประสิทธิภาพโดยรวมของระบบเพิ่มขึ้นเป็น 37.7% และอัตราการสิ้นเปลืองเชื้อเพลิงจำพวกของระบบลดเหลือ $0.45 \text{ m}^3/\text{kWh}$ แผ่นกําลังทำจากพลาสติกที่มีค่าการนำความร้อนเท่ากับ $0.58 \text{ W/m}^\circ\text{C}$ สามารถรับแรงกดได้สูงสุด 8.1 kN และทนแรงดันได้สูงสุด 0.35 bar อุณหภูมิที่ผิวแผ่นกําจะขึ้นอยู่กับอุณหภูมิของน้ำที่ไหลเข้า เมื่อป้อนน้ำอุณหภูมิ 44°C เข้าสู่โรงเรือนที่มีอุณหภูมิเฉลี่ย 26°C ทำให้อุณหภูมิที่ผิวของแผ่นกําเปลี่ยนเป็น 33°C ระบบกําลังสูตรนี้สามารถให้ความร้อนแก่โรงเรือนคลอดได้ 4.3 โรงเรือน และมีระยะเวลาการคืนทุนที่ 2.5 ปี

Abstract

The aim of this study was to design and test a heating system for piglets in farrowing house by utilizing the waste heat from a biogas engine as a heat source. The study was separated into three parts: 1) the study on the biogas combined heat and power plant, 2) the investigation on the properties of the heat panel and 3) the installation and testing of the heating system.

From the experiments, the condition producing 60 kW of electrical power was a proper condition for generating the electricity, in which the electrical efficiency and the specific fuel consumption were 14% and $1.22 \text{ m}^3/\text{kWh}$, respectively. Generating both electricity and heat increased the overall efficiency to 37.7% and decreased the specific fuel consumption to $0.45 \text{ m}^3/\text{kWh}$. The heat panel, which was made of a plastic material, had the thermal conductivity of $0.58 \text{ W/m}^\circ\text{C}$ and the maximum compressive force and operating pressure of 8.1 kN and 0.35 bar, respectively. The panel's surface temperature was dependent on the inlet water's temperature. When the hot water of 44°C was supplied into the farrowing house with the room temperature of 26°C , the average surface temperature was 33°C . The developed heating system could provide the heat for 4.3 farrowing houses. The payback period of this project was 2.5 years.

สารบัญ

หน้า

กิตติกรรมประกาศ	ก
บทคัดย่อภาษาไทย.....	๙
บทคัดย่อภาษาอังกฤษ	๊
สารบัญ.....	๑
สารบัญตาราง	๙
สารบัญรูปภาพ	๙
คำอธิบายสัญลักษณ์	๙
บทที่ 1 บทนำ	
1.1 ความสำคัญและที่มาของปัจจุบัน	1
1.2 วัตถุประสงค์ของการวิจัย	2
1.3 ขอบเขตของการวิจัย.....	2
1.4 ประโยชน์ที่คาดหวังได้รับ	2
บทที่ 2 ทฤษฎีที่เกี่ยวข้อง	
2.1 การเดี่ยงสugar	3
2.2 ระบบบกกลูกสูกรในโรงเรือนคลอด	6
2.3 แก๊สชีวภาพ	8
2.4 เครื่องยนต์แก๊สชีวภาพ	13
2.5 การใช้เครื่องยนต์แก๊สชีวภาพเพื่อผลิตไฟฟ้า	15
2.6 การนำความร้อนเหลือทิ้งจากเครื่องยนต์แก๊สชีวภาพมาใช้ประโยชน์	17
2.7 การวิเคราะห์ประสิทธิภาพของระบบผลิตไฟฟ้าร่วมกับพลังงานความร้อน ด้วยแก๊สชีวภาพ	18
บทที่ 3 อุปกรณ์และวิธีการ	
3.1 บทนำ.....	20
3.2 ระบบผลิตไฟฟ้าร่วมกับพลังงานความร้อนด้วยแก๊สชีวภาพ.....	20
3.3 การถ่ายเทความร้อนในเครื่องยนต์แก๊สชีวภาพ	23
3.4 การศึกษาคุณสมบัติของแพ่นกอก	27
3.5 การติดตั้งและทดสอบประสิทธิภาพของระบบบกกลูกสูกรในโรงเรือนคลอด	30

สารบัญ(ต่อ)

หน้า

บทที่ 4 ผลการศึกษาและวิจารณ์

4.1	ประสิทธิภาพของระบบผลิตไฟฟ้าร่วมกับพลังงานความร้อนด้วยแก๊สชีวภาพ.....	32
4.2	คุณสมบัติของแผ่นก๊าซ.....	34
4.3	การติดตั้งและทดสอบประสิทธิภาพของระบบกลูกสูกรในโรงเรือนคลอด	37
4.4	การวิเคราะห์ต้นทุนและผลตอบแทนของระบบกลูกสูกร	41

บทที่ 5 สรุป ปัญหาและข้อเสนอแนะ

5.1	สรุป	42
5.2	ปัญหาและข้อเสนอแนะ	43

บรรณานุกรม

ภาคผนวก ก การทดสอบความแข็งแรงของแผ่นก๊าซ.....

ภาคผนวก ข การทดสอบหาค่าการนำความร้อนของแผ่นก๊าซ.....

ภาคผนวก ค การคำนวณอัตราการถ่ายเท่ความร้อนของระบบกลูกสูกรในโรงเรือนคลอด

ประวัติผู้วิจัย.....

สารบัญตาราง

หน้า

ตารางที่ 2.1 ค่าเฉลี่ยแก๊สชีวภาพที่ผลิตได้ต่อมูลสัตว์แต่ละชนิดใน 1 kg	9
ตารางที่ 2.2 คุณสมบัติของแก๊สชีวภาพ.....	10
ตารางที่ 2.3 การเปรียบเทียบค่าความร้อนเทียบเท่ากับแก๊สชีวภาพ ($60\% \text{CH}_4$) ปริมาตร 1 m^3 ตารางที่ 2.4 คุณสมบัติของเครื่องยนต์แก๊สชีวภาพดัดแปลง.....	10 14
ตารางที่ 3.1 พารามิเตอร์และเครื่องมือวัดในการทดสอบเครื่องยนต์แก๊สชีวภาพ.....	24
ตารางที่ 3.2 พารามิเตอร์และเครื่องมือวัดในการทดสอบแผ่นก๊าซ.....	30
ตารางที่ 3.3 พารามิเตอร์และเครื่องมือวัดในการทดสอบระบบกลอกสุกรในโรงเรือนคลอด	31
ตารางที่ 4.1 การถ่ายเทความร้อนในเครื่องยนต์แก๊สชีวภาพ.....	32
ตารางที่ 4.2 ประสิทธิภาพของระบบผลิตไฟฟ้าร่วมกับพลังงานความร้อนด้วยแก๊สชีวภาพ.....	33
ตารางที่ 4.3 คุณสมบัติแผ่นก๊าซ.....	34

สารบัญรูปภาพ

หน้า

รูปที่ 2.1 ระบบของโรงเรือนสุกร (ก) โรงเรือนระบบเปิด (ข) โรงเรือนระบบปิดที่มีระบบทำ ความเย็นแบบระเหย	4
รูปที่ 2.2 โรงเรือนคลอด	5
รูปที่ 2.3 ระบบบกกลูกสุกรในโรงเรือนคลอด (ก) แบบพางข้าว (ข) แบบหล่ออดกอก (ค) แบบพื้นกอก ...	7
รูปที่ 2.4 แผนภูมิแสดงขั้นตอนหลักของการบอยถ่ายสารอินทรีย์แบบไร์օากาศ	9
รูปที่ 2.5 การใช้ประโยชน์จากการผลิตแก๊สชีวภาพ	13
รูปที่ 2.6 ลักษณะเฉพาะของความสัมพันธ์ระหว่างความเร็วรอบและแรงบิดของมอเตอร์เหนี่ยวนำ 16	
รูปที่ 2.7 ลักษณะเฉพาะของความสัมพันธ์ระหว่างความเร็วรอบและแรงบิดของเครื่องกำเนิด ไฟฟ้าที่ใช้มอเตอร์เหนี่ยวนำ.....	17
รูปที่ 3.1 ระบบผลิตไฟฟ้าร่วมกับพัลส์งานความร้อนด้วยแก๊สชีวภาพ (ก) แผนผังของระบบ (ข) การติดตั้งเครื่องแยกเปลี่ยนความร้อนเข้ากับเครื่องยนต์แก๊สชีวภาพ (ค) ลังเก็บน้ำร้อน 22	
รูปที่ 3.2 เครื่องมือและอุปกรณ์การวัดสำหรับการศึกษาการถ่ายเทความร้อนในเครื่องยนต์แก๊ส ชีวภาพ (ก) Anemometer (ข) Ultrasonic flow meter (ค) Tachometer (ง) Thermocouple (จ) Power meter	24
รูปที่ 3.3 แผนผังแสดงระบบการวัดในระบบผลิตไฟฟ้าร่วมกับพัลส์งานร้อน	25
รูปที่ 3.4 การทดสอบความแข็งแรงของแผ่นกอกด้วยเครื่อง UTM	28
รูปที่ 3.5 การทดสอบหาความต้านทานแรงดันน้ำของแผ่นกอก.....	28
รูปที่ 3.6 การทดสอบหาค่าการนำความร้อนของแผ่นกอกด้วยเครื่อง Heat Transfer Service Unit H110	29
รูปที่ 3.7 การทดสอบหาความสัมพันธ์ระหว่างอัตราการไหลของน้ำร้อนและอุณหภูมิที่ผิวแผ่นกอก (ก) แผ่นกอก 1 แผ่น (ข) แผ่นกอก 3 แผ่น ต่อแบบอนุกรม	30
รูปที่ 3.8 แผนผังการติดตั้งแผ่นกอกและระบบท่อในโรงเรือนคลอด	31
รูปที่ 4.1 ปริมาณความร้อนเหลือทิ้งที่นำกลับมาได้จากเครื่องยนต์แก๊สชีวภาพ	34
รูปที่ 4.2 ผลการทดสอบหาความแข็งแรงของแผ่นกอก (ก) ระยะยุบตัวและแรงกด (ข) สภาพของแผ่นกอกหลังการทดสอบ	35
รูปที่ 4.3 ผลการทดสอบการหาแรงดันที่แผ่นกอรับได้	36
รูปที่ 4.4 ผลการทดสอบหาประสิทธิภาพของแผ่นกอก	37
รูปที่ 4.5 ติดตั้งแผ่นกอกและระบบท่อในโรงเรือนคลอดของ บริษัท เอสพีเอ็ม อาหารสัตว์ จำกัด (ก) ผิวแผ่นกอกด้านบน (ข) ท่อน้ำด้านล่าง (ค) ระบบท่อของชุดแผ่นกอก.....	39

สารบัญรูปภาพ (ต่อ)

หน้า

รูปที่ 4.6 ความสัมพันธ์ของอุณหภูมิน้ำด้านเข้าและด้านออกโรงเรือน อุณหภูมิผิวแผ่นกากแล็ป และอุณหภูมิของโรงเรือนคลอด	40
รูปที่ 4.7 พฤติกรรมการนอนของลูกสุกรับนแฟ่นกอกที่มีน้ำร้อนไหลผ่านในโรงเรือนคลอด	41
รูปที่ 5.1 แผ่นกากลูกสุกรแบบใหม่ (ก) แผ่นกอก ขนาด 60 cm x 120 cm (ข) ส่วนประกอบของ แผ่นกอก	44

คำอธิบายสัญลักษณ์

C_{P_g}	ความจุความร้อนจำเพาะของแก๊สชีวภาพ, (kJ/m ³ °C)
C_{P_w}	ความจุความร้อนจำเพาะของน้ำ, (kJ/m ³ °C)
HHV_g	ความร้อนสูงของแก๊สชีวภาพ, (MJ/m ³)
I	กระแสไฟฟ้า, (A)
f	ความถี่ของแรงดันปั่นเข้า, (Hz)
\dot{m}_C	อัตราการไหลของน้ำหล่อเย็น, (m ³ /s)
\dot{m}_E	อัตราการไหลของน้ำผ่านเครื่องแลกเปลี่ยนความร้อน, (m ³ /s)
\dot{m}_g	อัตราการไหลของแก๊สชีวภาพ, (m ³ /s)
N	ความเร็วรอบเครื่องยนต์, (rpm)
N_n	ค่าความเร็วพิกัดของมอเตอร์เห็นี่ยวนำ, (rpm)
N_s	ความเร็วซิงโครนัสของมอเตอร์เห็นี่ยวนำ, (rpm)
P	จำนวนขั้วของมอเตอร์เห็นี่ยวนำ
P_b	กำลังของเครื่องยนต์, (kW)
P_e	กำลังไฟฟ้า, (kW)
Q	พลังงานความร้อน, (kW)
$Q_{coolant}$	พลังงานความร้อนที่ถ่ายเทให้กับน้ำหล่อเย็น, (kW)
Q_{EGR}	พลังงานความร้อนของแก๊สไอเสียที่นำกลับมาได้, (kW)
$Q_{electrical}$	พลังงานไฟฟ้าที่ผลิตได้, (kW)
Q_{fuel}	พลังงานความร้อนที่ได้จากการเผาไหม้แก๊สชีวภาพ, (kW)
Q_{loss}	พลังงานความร้อนที่สูญเสีย, (kW)
S	สลิปของมอเตอร์เห็นี่ยวนำ
sfc	อัตราการสิ้นเปลืองเชื้อเพลิงจำเพาะ, (m ³ /kWh)
T	แรงบิดของเครื่องยนต์, (Nm)
T_{Cin}	อุณหภูมิของน้ำด้านเข้าเครื่องยนต์, (°C)
T_{Cout}	อุณหภูมิของน้ำด้านเข้าเครื่องยนต์, (°C)
T_{Ein}	อุณหภูมิของน้ำด้านเข้าเครื่องแลกเปลี่ยนความร้อน, (°C)
T_{Eout}	อุณหภูมิของน้ำด้านออกเครื่องแลกเปลี่ยนความร้อน, (°C)
V	ความต่างศักย์ไฟฟ้า, (V)

$\eta_{heating}$	ประสิทธิภาพการทำความร้อน
$\eta_{electrical}$	ประสิทธิภาพของเครื่องกำเนิดไฟฟ้า
ρ_g	ความหนาแน่นของแก๊สชีวภาพ, (kg/m^3)
$\cos\phi$	เพาเวอร์เฟคเตอร์ทางไฟฟ้า

บทที่ 1

บทนำ

1.1 ความสำคัญและที่มาของปัญหา

การกักลูกสุกรมีความสำคัญต่อการเลี้ยงสุกร ในโรงเรือนคลอดเป็นอย่างมาก เพราะว่าแม่สุกร และลูกสุกรที่อาศัยอยู่ด้วยกันต้องการอุณหภูมิที่แตกต่างกัน โดยอุณหภูมิที่เหมาะสมสำหรับแม่สุกรมีค่าประมาณ 18–21 องศาเซลเซียส ขณะที่อุณหภูมิสำหรับลูกสุกรมีค่าประมาณ 32–35 องศาเซลเซียส การกักลูกสุกรช่วยลดอัตราการเสียชีวิตของลูกสุกร อันเนื่องมาจากการติดเชื้อและการถูกแม่สุกรทับ

การกักลูกสุกรในโรงเรือนคลอดนิยมใช้หลอดแก๊ส (heat lamp) โดยใช้กระแสไฟฟ้าเป็นคอก เพื่อกักเก็บความร้อนบริเวณโชนก และใช้พัดลมในรูปแบบต่าง ๆ เช่น ไฟฟ้า แก๊สหุงต้ม หรือ แก๊สชีวภาพ เป็นแหล่งความร้อน อย่างไรก็ตามระบบกักลูกสุกรแบบนี้ใช้พัดลมค่อนข้างสูงและมีข้อจำกัดหลายอย่าง เช่น หลอดคอกมีอายุการใช้งานที่สั้นและขาดบ่อยเมื่อเกิดไฟฟ้าตกหรือกระชาก เป็นต้น ดังนั้นจึงมีการนำระบบการให้ความร้อนแก่ลูกสุกรแบบพื้นกอกมาใช้ ซึ่งมีการทดสอบจนเป็นที่ยอมรับว่า สามารถกระจายความร้อนบริเวณโชนกให้แก่ลูกสุกรในโรงคลอดได้เป็นอย่างดี

พื้นกอกลูกสุกร (piglet heating panel) เป็นอุปกรณ์สำหรับให้ความอบอุ่นแก่ลูกสุกรที่มีใช้กันอย่างแพร่หลายในต่างประเทศ ซึ่งปัจจุบันสามารถผลิตเพื่อการค้า เช่น พื้นกอกของบริษัท Big Dutchman International GmbH และ MIK International AG เป็นต้น โดยทั่วไปพื้นกอกจะทำมาจากวัสดุเชิงประดิษฐ์ที่ทนทานต่อความร้อน ภายในมีชุดควบคุมความร้อนหรือท่อนำร้อนซึ่งได้รับพลังงานความร้อนจากไฟฟ้าหรือหม้อต้มน้ำ ตามลำดับ พื้นกอกนั้นนอกจากจะให้ความอบอุ่นแก่ลูกสุกรในบริเวณโชนกได้แล้ว ยังสามารถใช้แทนโครงสร้างของโรงเรือนในส่วนของพื้นคอกได้อีกด้วย สำหรับประเทศไทยไม่นิยมใช้พื้นกอกในการเลี้ยงสุกร เนื่องจากยังไม่มีผู้ผลิตภายใต้ประเทศและไม่มีเทคโนโลยีของพื้นกอกที่เหมาะสมกับโรงเรือนที่ใช้อยู่อย่างไรก็ตามฟาร์มสุกรบางฟาร์มได้มีการนำระบบพื้นกอกมาใช้ในโรงเรือนอนุบาล โดยสร้างพื้นกอกให้เป็นพื้นคอกคลอดความยาวของโรงเรือน และอาศัยความร้อนจากหม้อต้มน้ำที่ใช้เชื้อเพลิงแก๊สชีวภาพ เนื่องจากระบบนี้ทำให้พื้นกอกมีอุณหภูมิใกล้เคียงกันทั้งโรงเรือน จึงไม่เหมาะสมที่จะนำมาใช้ในโรงคลอด

นอกจากนี้ ในปัจจุบันฟาร์มสุกรในประเทศไทยนิยมติดตั้งระบบผลิตไฟฟ้าจากแก๊สชีวภาพ เพื่อลดค่าใช้จ่ายด้านพลังงานและกำจัดของเสียภายในฟาร์ม ระบบผลิตไฟฟ้าประเภทนี้ ส่วนใหญ่ประกอบด้วย เครื่องยนต์แก๊สชีวภาพและมอเตอร์หนี่ยวน่า โดยทั่วไปจะมีปั๊บติดงาน ความร้อนของเครื่องยนต์แก๊สชีวภาพบางส่วนจะถูกถ่ายเทให้กับระบบบรรยากาศความร้อนและแก๊สไออกซีเจน เพื่อรักษา

อุณหภูมิของเครื่องยนต์ให้อยู่ในสภาวะที่เหมาะสม การวิจัยเพื่อนำความร้อนเหลือทึ้งเหล่านี้มาใช้ประโยชน์กำลังได้รับความสนใจอย่างมาก โดยเฉพาะอย่างยิ่งในช่วงวิกฤติทางด้านพลังงาน

1.2 วัตถุประสงค์ของการวิจัย

เพื่อออกรอบและทดสอบระบบกลุ่มสูตรสำหรับใช้ในโรงเรือนคลอด โดยใช้ความร้อนจากน้ำหล่อเย็นของเครื่องยนต์แก๊สซีวภาพ ซึ่งเป็นการนำพลังงานความร้อนที่เหลือทึ้งกลับมาใช้ประโยชน์ ทำให้สามารถลดต้นทุนด้านพลังงานในกระบวนการผลิตสูตรได้

1.3 ขอบเขตของการวิจัย

พื้นที่ศึกษาในขั้นตอนการทดสอบระบบกลุ่มสูตร ครอบคลุมพื้นที่ 1 โรงเรือน (56 ตารางเมตร) โดยได้รับความอนุเคราะห์ อุปกรณ์ พื้นที่ทำการทดสอบและติดตั้งระบบจากฟาร์มสูตรของ บริษัท เอสพีเอ็ม อาหารสัตว์ จำกัด อำเภอปากท่อ จังหวัดราชบุรี

1.4 ประโยชน์ที่คาดว่าจะได้รับ

1) ทำให้เกิดการเพิ่มขีดความสามารถในการผลิตสูตรได้ โดยเฉพาะอย่างยิ่งช่วยเพิ่มอัตราการรอดของกลุ่มสูตรหลังคลอดได้ และทำให้กลุ่มสูตรแข็งแรงไม่ติดเชื้อจ่าย

2) สามารถนำพลังงานความร้อนเหลือทึ้งกลับมาใช้ใหม่ ซึ่งก่อให้เกิดการอนุรักษ์พลังงานอันเป็นyuทธศาสตร์อย่างหนึ่งของชาติ

3) สามารถเป็นแนวทางที่ฟาร์มสูตรอื่นๆ จะนำเทคนิคดังกล่าวไปใช้ได้ เพราะการออกแบบจะเน้นความง่าย ระบบไม่ซับซ้อน สะดวกแก่การใช้งาน

บทที่ 2

ทฤษฎีที่เกี่ยวข้อง

2.1 การเลี้ยงสุกร

การเลี้ยงสุกรเป็นอาชีพหนึ่งที่มีความสำคัญต่อระบบเศรษฐกิจของประเทศไทย สุกรเป็นสินค้าเกษตรกรรมที่มีบทบาทสำคัญต่อเศรษฐกิจของประเทศไทย ทั้งทางด้านการผลิต การบริโภค และการค้าระหว่างประเทศ ปัจจุบันการเลี้ยงสุกรในประเทศไทยได้มีการพัฒนาด้านพันธุ์อาหาร การจัดการ และการสุขาภิบาล จนทัศนีย์กับต่างประเทศ ปัจจัยหลักที่ทำให้การเลี้ยงสุกรประสบความสำเร็จ ประกอบด้วย 1) สุกรพันธุ์ดี 2) อาหารดี 3) โรงเรือนดี 4) การจัดการเลี้ยงดูดี และ 5) การป้องกันโรคดี (กรมปศุสัตว์, 2548)

2.1.1 ระบบของโรงเรือนสุกร

โดยทั่วไประบบของโรงเรือนสุกรสามารถแบ่งออกได้เป็น 2 แบบ (กรมปศุสัตว์, 2548) ดังแสดงไว้ในรูปที่ 2.1 ด้านล่าง

1. โรงเรือนระบบปิด หมายถึง โรงเรือนสุกรที่ควบคุมสภาพแวดล้อมตามธรรมชาติ และอุณหภูมิจะเปลี่ยนแปลงไปตามสภาพของอากาศรอบโรงเรือน

2. โรงเรือนระบบเปิด หมายถึง โรงเรือนสุกรที่สามารถควบคุมสภาพแวดล้อมให้เหมาะสมกับความเป็นอยู่ของสุกร อันได้แก่ อุณหภูมิ ความชื้น การระบายอากาศ และแสงสว่าง สามารถป้องกันพاهชนะนำโรคได้ โรงเรือนที่มีระบบทำความเย็นแบบระเหย (Evaporative Cooling System) เป็นตัวอย่างของโรงเรือนระบบปิดที่ได้ความนิยมอย่างมาก ซึ่งส่วนใหญ่ประกอบด้วย 1) ชุดแลกเปลี่ยนความร้อน 2) พัดลมดูดอากาศ 3) เครื่องสูบน้ำ และ 4) ชุดควบคุมอุณหภูมิและความชื้น ถึงแม้ว่าราคาทุนของโรงเรือนประเภทนี้ค่อนข้างสูง แต่สุกรจะอาศัยอยู่ในสภาพและจริญเดิบโดยเร็ว

การสร้างโรงเรือนสุกรนั้นไม่มีข้อจำกัดด้วยตัวว่า จะต้องสร้างให้ถูกตามที่ได้กำหนด เพราะการสร้างนั้นจะต้องให้เหมาะสมกับสภาพอากาศและสิ่งแวดล้อม รวมทั้งวัสดุที่ใช้ในการก่อสร้างแต่ละชนิด อย่างไรก็ตามการก่อสร้างโรงเรือนสุกรจำเป็นต้องคำนึงถึงสิ่งต่อไปนี้

- เป็นโรงเรือนที่สูตรอยู่ได้อย่างสบาย อากาศภายในไม่ร้อนจัดการระบายอากาศเป็นไปได้โดยสะดวก ไม่มีกลิ่นอับเหม็น พื้นคอนกรีตไม่ชื้น
- สามารถใช้เนื้อที่ภายในโรงเรือนให้เป็นประโยชน์มากที่สุดเท่าที่จะทำได้

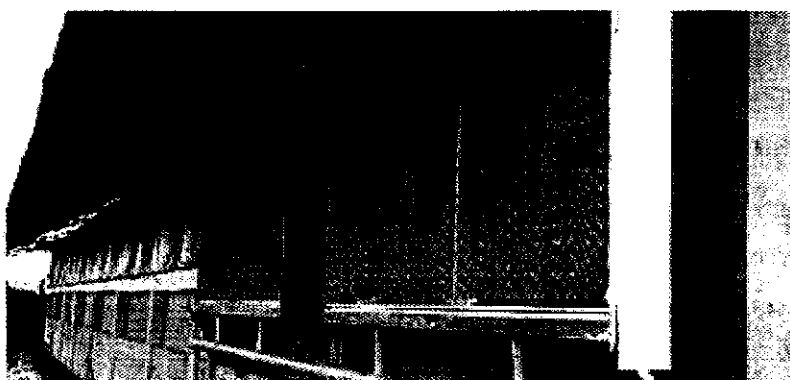
- การออกแบบและจัดแบ่งคอกตามประเภทและขนาดของสุกร ให้มีความคล่องตัวในการปฏิบัติงาน ทำให้เกิดความรวดเร็วและประหยัดแรงงาน ซึ่งจะช่วยทำให้คนงานแต่ละคนสามารถรับผิดชอบต่อสุกรได้มากขึ้น

- โรงเรือนสุกรที่เรียบง่ายไม่ซับซ้อน สามารถยับขยายหรือเปลี่ยนแปลงสภาพของคอกภายใน มาใช้เลี้ยงสุกรได้ตามขนาดและประเภทตามต้องการ โดยที่ไม่จำเป็นต้องเปลี่ยนโครงสร้างหลัก ๆ ของโรงเรือน และไม่ทำให้เกิดเสียงเมื่อที่ภายในไปโดยเปล่าประโยชน์

- ควรถูกหลักเศรษฐกิจสัมพันธ์กับการวางแผนการเลี้ยง คือ จะต้องคำนึงถึงอายุการใช้งานว่า จะมีโครงการเลี้ยงยาวนานแค่ไหน มีประมาณสุกรที่จะใช้เลี้ยงมากน้อยเท่าใด เพื่อที่จะได้จัดหาวัสดุการก่อสร้างมาใช้ให้เหมาะสม



(ก)



(ก)

รูปที่ 2.1 ระบบของ โรงเรือนสุกร (ก) โรงเรือนระบบเปิด (ก) โรงเรือน

ระบบปิดที่มีระบบทำความเย็นแบบระเหย (กรมปศุสัตว์, 2548)

2.1.2 โรงเรือนคลอด

โรงเรือนคลอดเป็นโรงเรือนสำหรับแม่สุกรท้องแก่ไก่คลอดชนถึงหลังคลอดลูกใหม่ ๆ อุบัติ คลอกคลอดในโรงเรือนคลอดมีความสำคัญต่อการผลิตสุกรอย่างมาก การปล่อยให้แม่สุกรคลอดลูกในคอกธรรมชาติไม่ได้จัดทำไว้ให้สำหรับการคลอดโดยเฉพาะ ลูกสุกรมักถูกแม่ทับตายในอัตราที่สูง การสร้างคอกคลอดสามารถลดปัญหานี้ได้ โดยปกติแม่สุกร 1 ตัว จะมีบริเวณคอกคลอดขนาด $2 \text{ m} \times 2.2 \text{ m}$ สูง 1 m ซึ่งจะประกอบด้วย ของสำหรับแม่สุกรขนาด $0.6 \text{ m} \times 2.2 \text{ m}$ สูง 1 m เพื่อบังคับให้แม่สุกรอยู่กับที่ พลิกตัวไปมาได้เท่านั้น ส่วนลูกสุกรจะวิ่งเข้าออกได้ และพื้นที่ที่เหลือจะเป็นบริเวณสำหรับลูกสุกร พื้นคอกของโรงเรือนคลอดจะเป็นพื้นสแล็ต (slat floor) ซึ่งทำมาจากคอนกรีตที่ไม่ขยายหรือลิ้นจนเกินไป มีช่องสำหรับให้น้ำให้จากพื้นลงไปด้านล่างได้ ตัวอย่างของโรงเรือนคลอดลูกแสดงไว้ในรูปที่ 2.2



รูปที่ 2.2 โรงเรือนคลอด

2.2 ระบบก菽ูกสุกรในโรงเรือนคลอด

การก菽ูกสุกรมีความสำคัญต่อลูกสุกรอย่างมาก เนื่องจากลูกสุกรแรกเกิดต้องการความอบอุ่น เพื่อทำให้ร่างกายสามารถปรับตัวเข้ากับอุณหภูมิของสิ่งแวดล้อมได้ ซึ่งจะทำให้ลูกสุกรแข็งแรงเร็วขึ้นและมีภูมิค้านทานโรคได้มากขึ้น โดยปกติลูกสุกรต้องการอุณหภูมิประมาณ $30\text{--}32^{\circ}\text{C}$ (Mount, 1963) ดังนั้นจึงจำเป็นต้องยกลูกสุกรให้ความอบอุ่นอยู่เสมอ ประมาณ 80% ของการสูญเสียลูกสุกรเกิดขึ้นในช่วง 3 วันแรกของชีวิตลูกสุกร และสาเหตุการสูญเสียเกิดจากการลูกทันโดยแม่สุกร (Weary et al., 1998) เพราะฉะนั้นเพื่อเป็นการลดการสูญเสียลูกสุกร ที่นี่ที่สำคัญที่สุดก็คือการอบอุ่นเพียงพอ (Ziron and Hoy, 2003) รูปที่ 2.3 แสดงตัวอย่างของระบบก菽ูกสุกรในโรงเรือนคลอด

2.2.1 การก菽ูกสุกรโดยใช้ฟางข้าว

การก菽ูกสุกรแรกเกิดจะใช้ฟางข้าวกองให้หนาประมาณ 2 คืบ แล้วนำลูกสุกรมาเก็บไว้โดยใช้สุ่มขัง ไว้เพื่อป้องกันมิให้ลูกสุกรหนี แล้วใช้ผ้าปิดสุ่มอีกชั้นหนึ่ง เพื่อป้องกันมิให้ลมโกรกจะทำให้อุณหภูมิกายในสุ่มอุ่นเสมอ แต่ต้องเปิดให้ลูกสุกรกินนมแม่ทุกครั้งที่แม่สุกรเรียกลูกกินนม และหลังจากลูกสุกรกินนมเสร็จแล้ว ให้นำลูกสุกรเข้าที่เดินทันทีทำให้ลูกสุกรแข็งแรงและโตเร็ว ถ้าฟางเปียกชื้นจากพืชลูกสุกรให้รีบเปลี่ยนฟางเอาชุดเก่าออกใส่ฟางใหม่เข้าไป เพื่อรักษาพื้นที่แห้งและสะอาดอยู่เสมอ ทำอย่างนี้ 3 – 4 วัน ลูกสุกรจะสามารถอยู่ในสภาพอากาศปกติได้อย่างดี

2.2.2 ระบบก菽ูกสุกรแบบหลอดแก๊ส

หลอดแก๊สที่ใช้ในการก菽ูกสุกรมีทั้งแบบหลอดไฟ แบบหลอดอินฟราเรด (Infrared lamp) และหัวแก๊สแอลพีจี (LPG) หรือแก๊สชีวภาพ ซึ่งจะอาศัยหลักการแผ่รังสีความร้อนให้ความอบอุ่นแก่ลูกสุกร (Xin et al., 1997) โดยทั่วไป ประสิทธิภาพการใช้พลังงานความร้อนของการก菽แบบนี้ค่อนข้างดี เกิดการสูญเสียความร้อนให้กับบรรยากาศ บางครั้งกรณีโรงเรือนปิด หัวกอกอาจจะดับจากการกระโจนของลมซึ่งทำให้เกิดการสูญเสียแก๊สเชื้อเพลิง โดยเปล่าประโยชน์ (จรกุล และวีรชัย, 2546)

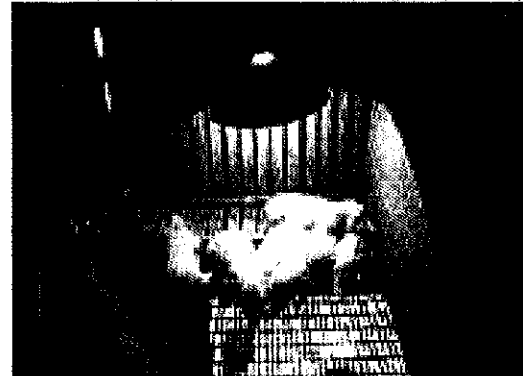
2.2.3 ระบบก菽ูกสุกรแบบพื้นกอก

ระบบก菽ูกสุกรแบบพื้นนั้นเป็นการออกแบบพื้นสำหรับให้ลูกสุกรนอน โดยมีแผ่นความร้อนหรือท่อนำร้อนอยู่ภายในพื้น เพื่อส่งความร้อนให้กับพื้นและให้ความอบอุ่นแก่ลูกสุกร โดยการนอนสัมผัสพื้นโดยตรง การก菽ูกสุกรแบบนี้สามารถกระจายความร้อนให้กับลูกสุกรได้อย่างทั่วถึง โดยที่ลูกสุกรแต่ละตัวจะได้รับอุณหภูมิเดียวกัน (de Baey-Ernsten, et al., 1995; Ziron and Hoy, 2003; Cronin, et al., 1995) พื้นก菽ูกสุกร สามารถแบ่งออกได้เป็น 2 ประเภท กือ แบบไฟฟ้า และแบบนำร้อน (Big Dutchman, 2005; MIK, 2007; Zhang and Xin, 2000)

Pandorff and da Silva (2005) ทำการวิจัยเพื่อประเมินและเปรียบเทียบพฤติกรรมการอยู่อาศัยของลูกสุกรที่มีต่อระบบบกกลูกสุกร การศึกษานี้ใช้ระบบบกกลูกสุกร 4 แบบ คือ แบบพื้นกอก แบบหลอดไฟ แบบชุดลวดความร้อน และแบบหลอดอินฟราเรด ผลการศึกษาแสดงให้เห็นว่า ลูกสุกรมีความดีในการใช้งานระบบบกแบบพื้นกอกมากกว่าชนิดอื่น ในทำนองเดียวกัน ผลการศึกษาของ Xin and Zhang (1999) แสดงให้เห็นว่า ในสภาพแวดล้อมที่มีลมแรงและหนาวเย็น ลูกสุกรชอบอาศัยบนระบบบกแบบพื้นกอกมากกว่าแบบหลอดกอก



(ก)



(ข)



(ค)

รูปที่ 2.3 ระบบบกกลูกสุกรในโรงเรือนคลอด (ก) แบบฟางข้าว (ข) แบบหลอดกอก (ค) แบบพื้นกอก

2.3 แก๊สชีวภาพ

แก๊สชีวภาพ คือ แก๊สที่เกิดจากการย่อยสลายของสารอินทรีย์ ในสภาพที่ขาดออกซิเจน โดยปฏิริยาการย่อยสลายที่กระทำโดยแบคทีเรีย กลุ่ม anaerobic bacteria ซึ่งเรียกกระบวนการนี้ว่า การย่อยสลายแบบไร้อากาศ โดยมีปฏิริยาดังนี้



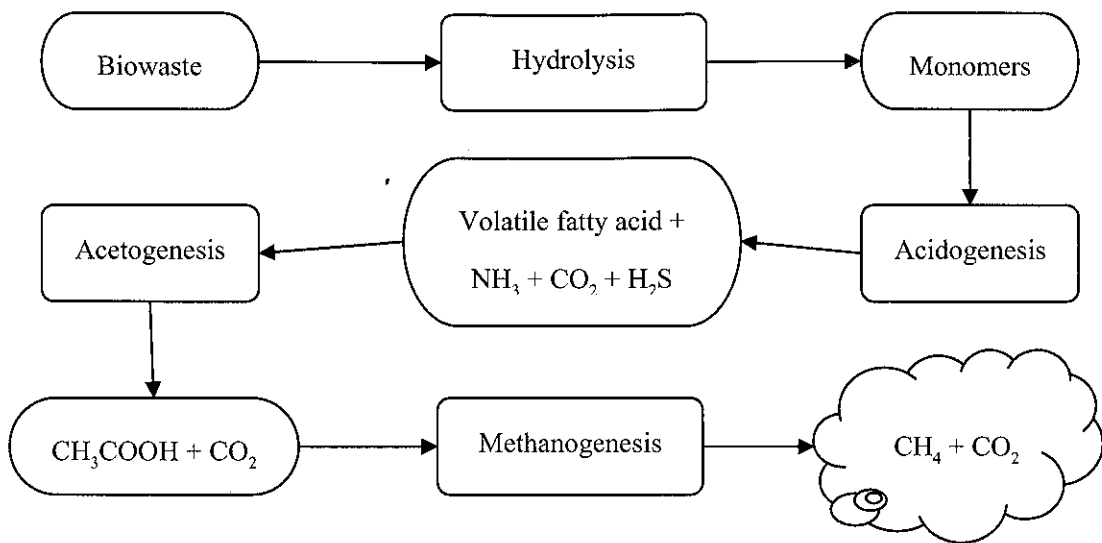
ขั้นตอนการย่อยสลายสารอินทรีย์แบบไร้อากาศ ประกอบด้วย 4 ขั้นตอนที่สำคัญ ซึ่งถูกแสดงไว้ในรูปที่ 2.4 ประกอบด้วย

1. Hydrolysis เป็นปฏิริยาทางเคมีที่ย่อยสลายสารอินทรีย์ที่มีโมเลกุลใหญ่และมักจะไม่ละลายน้ำให้แตกตัวมีโมเลกุลเด็กลงกลາຍเป็นสารโมเลกุลเดี่ยวจำพวก น้ำตาลโมเลกุลเดี่ยว (simple sugars) กรดอะมิโน (amino acids) และกรดไขมัน (fatty acids) โดย hydrolytic bacteria เพื่อให้สามารถซึมผ่านเซลลของแบคทีเรียได้ และละลายน้ำได้ดีขึ้น

2. Acidogenesis เป็นปฏิริยาทางชีวภาพที่ย่อยสลายสารโมเลกุลเดี่ยวให้กลາຍเป็นกรดไขมันที่ระเหยได้ง่าย (volatile fatty acid) โดย acidogenic bacteria ซึ่งในขั้นตอนนี้จะทำให้เกิด แอมโมเนีย (NH_3) คาร์บอนไดออกไซด์ (CO_2) และ ไฮโดรเจนซัลไฟฟ์ (H_2S) ด้วย

3. Acetogenesis เป็นปฏิริยาทางชีวภาพที่กรดไขมันที่ระเหยได้ง่าย ถูกเปลี่ยนให้เป็นกรดอะซิติก (CH_3COOH) ไฮโดรเจน (H_2) และ CO_2 โดยแบคทีเรียกลุ่ม acetolclastic bacteria

4. Methanogenesis เป็นปฏิริยาทางชีวภาพที่กรดอะซิติกถูกเปลี่ยนเป็น มีเทน (CH_4) และ CO_2 โดย methanogenic bacteria ในขั้นตอนนี้ H_2 จะถูกใช้ไป



รูปที่ 2.4 แผนภูมิแสดงขั้นตอนหลักของการย่อยสลายสารอินทรีย์แบบไร้อากาศ

การหมักมูลสัตว์แบบไร้ออกซิเจ่น ทำให้สารอินทรีย์ในมูลสัตว์ประมาณ 80% ถูกเปลี่ยนไปเป็นแก๊สเมทีน จากการสำรวจพบว่า ปริมาณแก๊สชีวภาพ (ซึ่งมีแก๊สเมทีโนอยู่ 60-80%) ที่ผลิตได้จากมูลสัตว์ในแต่ละชนิด ดังแสดงในตารางที่ 2.1

ตารางที่ 2.1 ค่าเฉลี่ยแก๊สชีวภาพที่ผลิตได้ต่อมูลสัตว์แต่ละชนิด ใน 1 kg (Werner, 1989)

ชนิดมูลสัตว์	ค่าเฉลี่ยแก๊สชีวภาพที่ผลิตได้ต่อมูลสัตว์ 1 kg
สุกร	360 liter
วัว	200 liter
ไก่	370 liter
ม้า	200 liter
แพะ	160 liter

2.3.1 คุณสมบัติของแก๊สชีวภาพ

แก๊สชีวภาพประกอบด้วย แก๊สมีเทน (CH_4) และแก๊สคาร์บอน ไดออกไซด์ (CO_2) เป็นหลัก โดยมี CH_4 ประมาณ 60-80%, CO_2 ประมาณ 20-40% และ H_2S 1% เนื่องจาก CO_2 เป็นแก๊สที่ไม่ติดไฟ ขณะนี้ในการติดไฟจึงขึ้นอยู่กับ CH_4 แก๊สชีวภาพมีน้ำหนักเบากว่าอากาศ และมีความดันต่ำ อีกทั้งยังเปลี่ยนสภาพเป็นของเหลวได้ยาก โดยความดันที่ทำให้แก๊สชีวภาพถาวรเป็นของเหลว หรือเปลี่ยนสถานะ ได้จะอยู่ที่ 200-300 bar และอุณหภูมิกลั่นตัวเป็นของเหลวจะอยู่ที่ -161°C นอกจากนี้ยังมีคุณสมบัติอื่นๆ ดังแสดงในตารางที่ 2.2 ส่วนตารางที่ 2.3 แสดงการเปรียบเทียบค่าความร้อนเทียบท่ากับแก๊สชีวภาพ

ตารางที่ 2.2 คุณสมบัติของแก๊สชีวภาพ

คุณสมบัติ	
ค่าความร้อนสูง ($60\%\text{CH}_4$) (HHV_g), MJ/m^3	21
ค่าความจุความร้อนจำเพาะ (C_{pg}), $\text{kJ}/\text{m}^3\text{O}^{\circ}\text{C}$	1.6
ความหนาแน่น (ρ_g), kg/m^3	1.15
ความเร็วเปล่งไฟ, cm/s	25
อัตราส่วนอากาศต่อเชื้อเพลิงในทางทฤษฎี	6.19
อุณหภูมิเผาไหม้ในอากาศ, $^{\circ}\text{C}$	650

ตารางที่ 2.3 การเปรียบเทียบค่าความร้อนเทียบท่ากับแก๊สชีวภาพ ($60\%\text{CH}_4$) ปริมาตร 1 m^3

(โครงการแก๊สชีวภาพไทย-เยอรมัน, 2545)

ชนิด	ปริมาณ
1. แก๊สหุงต้ม (LPG)	0.47 kg
2. น้ำมันเบนซิน	0.67 liter
3. น้ำมันดีเซล	0.60 liter
4. พืนไม้	1.50 kg

2.3.2 รูปแบบบ่อหมักแก๊สชีวภาพสำหรับฟาร์มสุกร

รูปแบบบ่อหมักแก๊สชีวภาพที่มีการส่งเสริมให้นำมาใช้จัดการน้ำเสียจากฟาร์มเลี้ยงสุกร เพื่ออนุรักษ์พลังงานและสิ่งแวดล้อม ได้แก่

1. บ่อโดมคงที่ (Fixed Dome) เป็นบ่อหมักแก๊สชีวภาพที่เหมาะสมสำหรับฟาร์มเลี้ยงสุกรขนาดเล็ก (ฟาร์มที่เลี้ยงสุกรเท่าสุกรขุน ไม่เกิน 500 ตัว) ลักษณะบ่อหมัก ส่วนใหญ่สร้างด้วยคอนกรีต หรือก่ออิฐ โถกปูนฝังอยู่ในดิน โดยจะมีท่อเพื่อเติมน้ำสุกรและท่อให้มูลสุกรไหลออก แก๊สชีวภาพจะเกิดขึ้นบริเวณส่วนบนของโถ โดยจะมีท่อเพื่อคึงแก๊สชีวภาพไปใช้ประโยชน์ ข้อเสียของบ่อแบบนี้คือ แรงคันของแก๊สไม่คงที่

2. บ่อหมักแบบรางตามด้วยบ่อหมักเรือน้ำใส (Channel Digester + Upflow Anaerobic Sludge Blanket) เป็นป่อหมักแก๊สชีวภาพ ที่พัฒนาขึ้นโดย สถานเทคโนโลยีก้าวชีวภาพ มหาวิทยาลัยเชียงใหม่ ซึ่งเป็นบ่อหมักที่ได้มีการส่งเสริมให้ใช้ในฟาร์มเลี้ยงสุกรขนาดกลางและขนาดใหญ่ ประกอบด้วย 2 ขั้นตอนการทำงานต่อเนื่องกัน คือ

- บ่อหมักแบบราง (Channel Digester) ทำหน้าที่แยกของเสียส่วนขั้นและส่วนใสออกจากกัน โดยของเสียส่วนขั้นจะถูกหมักในบ่อหมักนี้จนอยู่ในสภาพที่เสถียร (stabilized) ของเสียส่วนใสซึ่งมีปริมาณ 80–90% ของของเสียทั้งหมด จะไหลผ่านไปยังบ่อหมักแบบ UASB

- บ่อหมักเรือน้ำใส (Upflow Anaerobic Sludge Blanket: UASB) สารอินทรีย์ส่วนใหญ่ในน้ำเสีย ซึ่งอยู่ในรูปของสารละลาย จะถูกย่อยสลายในบ่อหมัก UASB และกลไกเป็นแก๊สชีวภาพ อัตราส่วนปริมาตรของบ่อหมักแบบรางต่อปริมาตรของบ่อหมักแบบ UASB คือ ประมาณ 2-3 ต่อ 1 ทึ้งนี้ขึ้นอยู่กับลักษณะคุณสมบัติของน้ำเสียจากฟาร์มที่เข้าสู่บ่อหมัก

3. บ่อหมักเรือน้ำขึ้น (High suspension solids - Upflow Anaerobic Sludge Blanket: H-UASB) เป็นบ่อหมักที่ถูกปรับปรุงจากบ่อหมักแบบ UASB เพื่อแก้ปัญหาการอุดตันระบบหัวจ่ายน้ำของ UASB อันเนื่องจากตะกอนของมูลสุกร โดยนำบ่อปรับสภาพ (Stabilizing Pond หรือ EQ) จากระบบผลิตแก๊สชีวภาพจากน้ำเสียอุตสาหกรรมมาใช้ เรียกว่า Buffer tank ซึ่งทำหน้าที่แยกตะกอน แนวลอดของจากน้ำเสียและมูลสุกรให้มีปริมาณน้อยที่สุด พร้อมกันนี้ยังได้นำแผ่นยาง PE ที่ใช้คุณบ่อหมักแก๊สชีวภาพแบบราง มาคลุมบน Buffer tank ทำหน้าที่เก็บแก๊สชีวภาพที่ผลิตได้จากระบบ UASB จากผลการทดลองใช้งานในฟาร์มสุกรขนาดใหญ่ พบว่า บ่อหมักประเภทนี้สามารถทำงานได้ดีมีประสิทธิภาพสูง

4. บ่อหมักแบบพลาสติกคลุมป้องกัน (Covered Lagoon) เป็นบ่อหมักแก๊สชีวภาพที่มีโครงสร้างส่วนใหญ่เป็นป้องกัน ด้านบนคลุมด้วยผ้าพลาสติกขนาดใหญ่ เพื่อรับรวมแก๊สชีวภาพที่

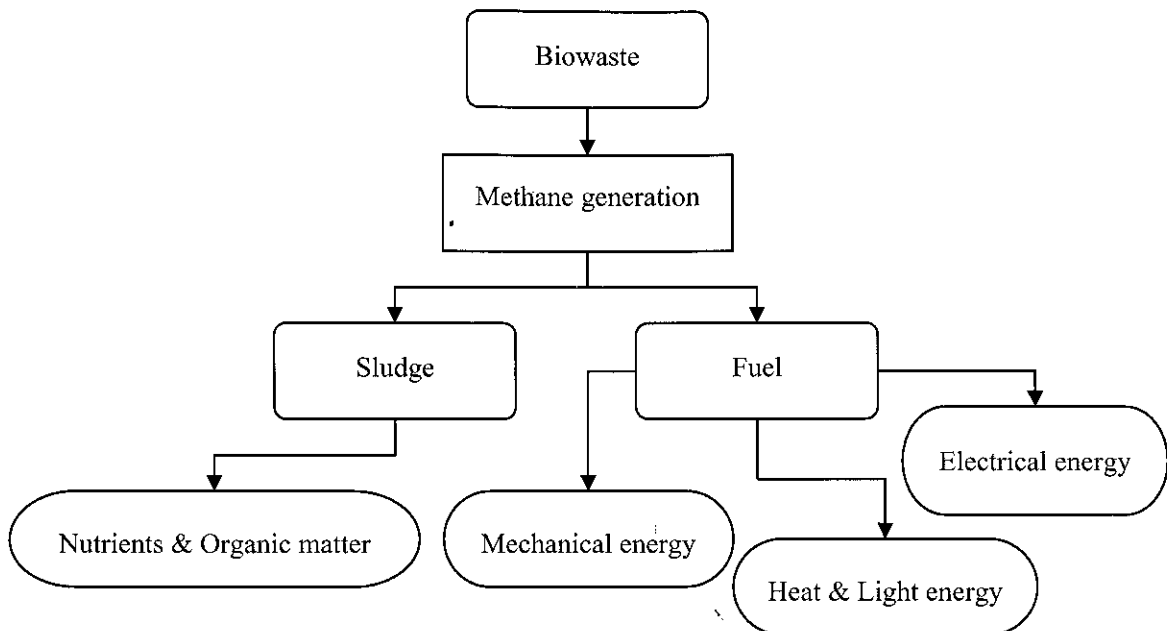
เกิดขึ้นก่อนนำแก๊สไปใช้ประโยชน์ ข้อดีของบ่อแก๊สแบบนี้คือ มีราคาถูก แต่มีข้อเสียคือ มีการสะสมของกากมูลสุกรภายในบ่อ ทำให้มีอิฐไว้ได้ระยะหนึ่งจำเป็นที่จะต้องเปิดพลาสติกออกเพื่อนำกากมูลสุกรที่ตกตะกอนออก และอีกประการหนึ่งพื้นของบ่อแบบนี้เป็นพื้นดิน ดังนั้นน้ำมูลสุกรเข้มข้น จะซึมลงสู่แหล่งน้ำใต้ดิน ทำให้น้ำใต้ดินเสียเป็นอันตรายกับสิ่งแวดล้อมมาก บางประเทศห้ามไม่ให้มีการก่อสร้างบ่อแก๊สชนิดนี้ แต่ในปัจจุบันมีการปรับปรุงแก้ไข โดยในขณะทำการสร้างบ่อจะมีการบดอัดพื้นพื้นหลุมให้แน่นแล้วปูพื้นด้วยพลาสติก เพื่อป้องกันการซึมผ่านของน้ำเสียซึมลงสู่ชั้นดิน

2.3.3 การใช้ประโยชน์จากแก๊สชีวภาพ

แก๊สชีวภาพที่ได้จากบ่อหมักแบบไร้ออกซิเจนแบบต่างๆ นั้น ส่วนใหญ่จะเป็นแก๊สที่อิ่มตัวด้วยไอน้ำ เนื่องจากแก๊สชีวภาพที่เกิดจากการย่อยสลายสารอินทรีย์นั้น จะต้องผ่านชั้นน้ำก่อนที่จะเข้าสู่ชั้นของแก๊ส ดังนั้นจึงควรทำการลดปริมาณของไอน้ำในแก๊สก่อนนำไปใช้งาน เช่น การส่งแก๊สชีวภาพไปตามท่อที่ฝังอยู่ใต้ดินซึ่งมีอุณหภูมิค่อนข้างต่ำ จะทำให้เกิดการกลั่นตัวของไอน้ำ แก๊สชีวภาพจึงมีปริมาณไอน้ำลดลง เป็นต้น.

ในบางระบบแก๊สชีวภาพที่ผลิตได้ จะมีปริมาณไฮโดรเจนซัลไฟด์ (H_2S) ปนเปื้อนอยู่มาก ซึ่งอาจจำเป็นต้องให้แก๊สชีวภาพผ่านระบบลดปริมาณ H_2S (desulphurization system) ซึ่งส่วนใหญ่จะใช้เหล็กออกไซด์ (FeO) เป็นตัวกลางทำให้เกิดปฏิกิริยา กับ H_2S เป็นผลให้เกิดเหล็กซัลไฟด์และน้ำ ดังสมการ $FeO + H_2S \rightarrow FeS + H_2O$ โดย FeS ที่เกิดขึ้นหลังจากใช้งานแล้วสามารถนำไปทำปฏิกิริยากับออกซิเจนในอากาศ เพื่อปลดปล่อยซัลเฟอร์ ให้กลับเป็นเหล็กออกไซด์ได้อีก ดังปฏิกิริยา $2FeS + O_2 \rightarrow FeO$ ซึ่ง FeO ที่ได้นี้สามารถนำกลับไปใช้เป็นตัวกลางทำให้เกิดปฏิกิริยา กับ H_2S ได้อีก

แก๊สชีวภาพที่มีความสะอาดเพียงพอ สามารถนำไปใช้เป็นเชื้อเพลิงทดแทนแก๊สหุงต้ม น้ำมันเบนซิน และน้ำมันดีเซล ในอุปกรณ์ต่างๆ ได้ เช่น เตาหุงต้ม ตะเกียงแสงสว่าง หม้อต้มไอน้ำ เครื่องกอกลูกสุกร/ไก่ และเครื่องยนต์สันดาปภายใน (วีระพันธ์, 2538) ดังแสดงในรูปที่ 2.5



รูปที่ 2.5 กฎใช้ประโยชน์จากการผลิตแก๊สชีวภาพ

2.4 เครื่องยนต์แก๊สชีวภาพ

การใช้แก๊สชีวภาพมาเป็นเชื้อเพลิงสำหรับเครื่องยนต์สันดาปภายในนั้น จะต้องปรับปรุงลักษณะของกระบวนการของเครื่องยนต์เพื่อที่จะทำให้เครื่องยนต์นั้น เหมาะสมแก่การใช้แก๊สชีวภาพเป็นเชื้อเพลิงและสามารถทำงานได้ดีใกล้เคียงกันกับเครื่องยนต์แก๊สโซลิน โดยทั่วไปการดัดแปลงเครื่องยนต์เพื่อนำมาใช้กับแก๊สชีวภาพ สามารถแบ่งออกเป็น 3 วิธี (สมบูรณ์, 2546)

1. การนำเครื่องยนต์ดีเซลมาใช่วิ่งกับแก๊สชีวภาพ หรือเรียกว่า ใช้เชื้อเพลิงคู่ (Gas-Diesel Engine or Dual-Fuel Engine) โดยใช้แก๊สชีวภาพผสมกับอากาศเป็นไอดีเซลเข้าห้องเผาใหม่ ส่วนการจุดระเบิดยังใช้น้ำมันดีเซลฉีดเข้าห้องเผาใหม่ วิธีการแบบนี้เครื่องยนต์ต้องการใช้น้ำมันดีเซลเพื่อการจุดระเบิดประมาณ 10%-20% ของการใช้เครื่องยนต์ดีเซลปกติ ดังนั้นทำให้ประหยัดน้ำมันดีเซลได้ 80%-90% และไม่ต้องมีการดัดแปลงลักษณะการทำงานเครื่องยนต์ดีเซลแต่อย่างใด

2. การนำเครื่องยนต์ดีเซลมาดัดแปลงเป็นเครื่องยนต์แก๊สโซลินเพื่อใช้กับแก๊สชีวภาพ (Gas-Otto Engine) จากการจุดระเบิดของเครื่องยนต์ดีเซลที่อัดอากาศให้มีความดันและอุณหภูมิสูง จากนั้นฉีดน้ำมันดีเซลเข้าไปให้เกิดการเผาไหม้ภายในห้องเผาใหม่ เป็นขั้นตอนเดียวกับการอัดอากาศผสมแก๊สชีวภาพให้มีความดัน และอุณหภูมิสูง จากนั้นจึงจุดระเบิดด้วยประกายไฟจากหัวเทียน วิธีการแบบนี้ เครื่องยนต์ต้องได้รับการดัดแปลงโดยการเปลี่ยนอัตราส่วนการอัด (compression ratio) ให้ได้ 10-12

และเพิ่มอุปกรณ์ผสมอากาศกับแก๊สชีวภาพหรือคาร์บูเรเตอร์ (carburetor) เข้าไป ซึ่งเป็นวิธีการที่ค่อนข้างยุ่งยาก

3. การนำเครื่องยนต์แก๊สโซลินมาใช้แก๊สชีวภาพเป็นเชื้อเพลิง (Gas-Otto Engine) วิธีการแบบนี้เครื่องยนต์ต้องได้รับการดัดแปลงโดยการเปลี่ยนอัตราส่วนการอัดให้ได้ 10-12 และต้องปรับปรุงคาร์บูเรเตอร์จากเดิมที่ผสมน้ำมันเบนซินกับอากาศ มาเป็นผสมอากาศกับแก๊สชีวภาพเป็นไอคิดแทน

ในปัจจุบัน ประเทศไทยมีการวิจัยและพัฒนาเกี่ยวกับเครื่องยนต์แก๊สชีวภาพดัดแปลงกันอย่างกว้างขวาง (ประเทศไทย และคณะ, 2546; สมบูรณ์, 2546; สมมาส และคณะ, 2549) และมีการนำมาใช้งานจริง โดยเฉพาะในฟาร์มเลี้ยงสุกร (เวรชัยฟาร์ม, บริษัท เอสพีเอ็ม อาหารสัตว์ จำกัด) ถึงแม้ว่าประสิทธิภาพของเครื่องยนต์ดัดแปลงจะต่ำกว่า ประสิทธิภาพของเครื่องยนต์ที่ใช้แก๊สชีวภาพเป็นเชื้อเพลิง โดยตรงประมาณ 2 เท่า (กิตติ, 2548)

Mitzlaff (1988) เปรียบเทียบคุณสมบัติบางประการของ Gas-Diesel Engine และ Gas-Otto Engine ไว้ในตารางที่ 2.4

ตารางที่ 2.4 คุณสมบัติของเครื่องยนต์แก๊สชีวภาพดัดแปลง

Design Data	Gas-Diesel Engine	Gas-Otto Engine
Compression ratio	15-18	10-12
Excess air ratio	1.3-4.0	0.9-1.3
Specific fuel consumption, m ³ /kWh	0.55-0.75 (+ pilot fuel)	0.65-1.0
Exhaust gas temperature, °C	500-700	500-900
Ignition type	Self-ignition of pilot fuel injected into a hot compressed mixture of air and gas which is ignited by the pilot fuel subsequently	As in other Otto engines

2.5 การใช้เครื่องยนต์แก๊สชีวภาพเพื่อผลิตไฟฟ้า

ในการผลิตไฟฟ้า สามารถนำเครื่องยนต์แก๊สชีวภาพมาต่อเข้ากับเครื่องกำเนิดไฟฟ้า โดยเครื่องกำเนิดไฟฟ้าที่นิยมใช้มีอยู่ 2 ชนิด คือ

1. ไอน้ำโน้ม (generator) วิธีนี้จะต้องมีอุปกรณ์หรือวงจรควบคุมความเร็วรอบของการทำงานให้คงที่ เพื่อให้แรงดันและความถี่ทางไฟฟ้าที่ผลิตออกมามีความคงที่ ซึ่งต้องหากแรงดันและความถี่ไม่มีความคงที่ หากนำอุปกรณ์ทางไฟฟ้าต่อใช้งานจะทำให้อุปกรณ์เสียหายได้

2. มอเตอร์เหนี่ยวนำ (induction motor) วิธีนี้จะใช้หลักการที่ว่า เมื่อเครื่องยนต์หมุนด้วยความเร็วรอบมากกว่าความเร็วชิงโกรนัส (synchronous speed) ของมอเตอร์ มอเตอร์จะทำหน้าที่เป็นไอน้ำโน้ม ข้อดีของวิธีนี้คือ ระบบผลิตไฟฟ้านี้สามารถต่อพ่วงเข้ากับระบบไฟฟ้าของ การไฟฟ้าฯ ได้ทันที โดยระบบจะผลิตเฉพาะกระแสไฟฟ้า ส่วนแรงดันและความถี่จะใช้ของ การไฟฟ้าฯ ทำให้ไม่เกิดผลเปลี่ยนแปลงต่อแรงดันและความถี่ ซึ่งหากนำอุปกรณ์ทางไฟฟ้ามาต่อใช้งาน จะไม่ทำให้อุปกรณ์เสียหายแต่อย่างใด การนำมอเตอร์เหนี่ยวนำมาต่อพ่วงกับเครื่องยนต์แก๊สชีวภาพ จะต้องคำนึงถึงความเหมาะสมของขนาดมอเตอร์และเครื่องยนต์ เพื่อให้ระบบผลิตไฟฟ้าสามารถทำงานได้ประสิทธิภาพสูงสุด โดยมอเตอร์จะต้องมีความเร็วรอบและแรงบิดใกล้เคียงกับแรงบิดสูงสุดของเครื่องยนต์

รูปที่ 2.6 แสดงลักษณะเฉพาะของความสัมพันธ์ระหว่างความเร็วรอบและแรงบิดของมอเตอร์เหนี่ยวนำ ขณะใช้ปฏิบัติงานที่ความถี่ของแหล่งกำเนิดไฟฟ้าคงที่ จากกราฟความสัมพันธ์จะเห็นได้ว่า การใช้งานมอเตอร์เหนี่ยวนำจะเกิดขึ้นในช่วงเสถียร (stable region) แรงบิดและกำลังส่งออกจะเปลี่ยนแปลงตามความเร็วรอบของมอเตอร์ที่เปลี่ยนไป และที่ความชิงโกรนัสจะไม่มีกำลังส่งออกมากเลย ความแตกต่างระหว่างความเร็วชิงโกรนัสและความเร็วใช้งานของมอเตอร์เรียกว่า สลิป (slip) แรงบิดและกำลังส่งออกจะเปลี่ยนแปลงกับสลิปด้วยความสัมพันธ์แบบเชิงเส้น (Vaidya, J. and Gregory, E., 2002)

ถ้ามอเตอร์เหนี่ยวนำถูกขับด้วยต้นกำลังที่มีความเร็วรอบมากกว่าความเร็วชิงโกรนัสของมอเตอร์ กราฟความสัมพันธ์ระหว่างความเร็วรอบและแรงบิดจะมีลักษณะเฉพาะที่กลับกันกับกราฟในรูปที่ 2.6 ดังแสดงในรูปที่ 2.7 ในช่วงเสถียร กำลังไฟฟ้าจะถูกผลิตขึ้นมาโดยใช้กำลังส่งเข้าจากตัวขับ ซึ่งกำลังไฟฟ้าที่ถูกผลิตขึ้นมาจะเป็นพังก์ชันกับสลิปและจะเปลี่ยนแปลงตามสลิปด้วย

ความเร็วชิงโกรนัส (N_s) ของมอเตอร์เหนี่ยวนำสามารถคำนวณได้จากสมการข้างล่างนี้

$$N_s = \frac{120f}{P}$$

โดย N_s คือ ความเร็วรอบของสนามแม่เหล็กหมุนหรือความเร็วชิงโกรนัส, (rpm)

f คือ ความถี่ของแรงดันป้อนเข้า, (Hz)

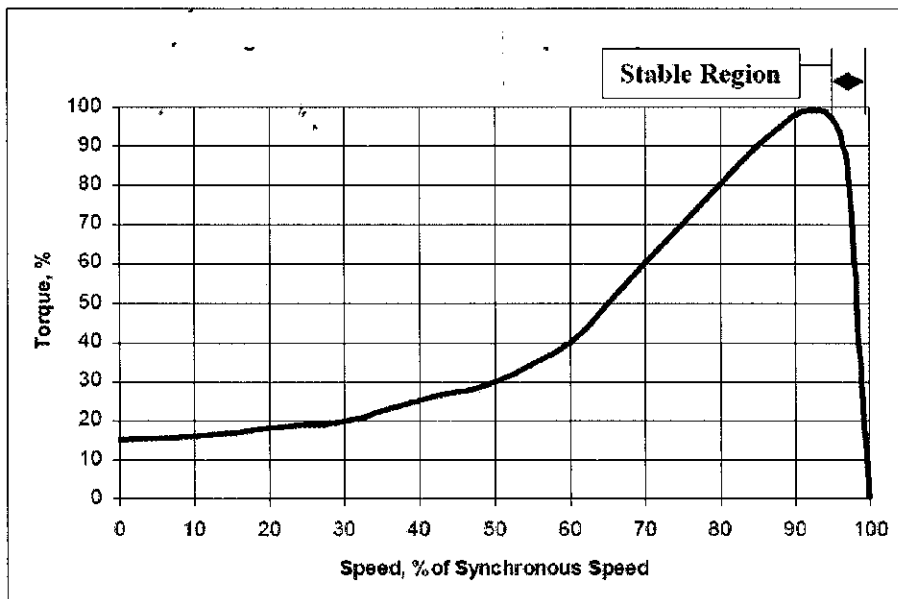
P คือ จำนวนขั้วของมอเตอร์หนึ่งยาน้ำ

ส่วน สลิป (S) ของมอเตอร์หนึ่งยาน้ำคำนวณได้จาก

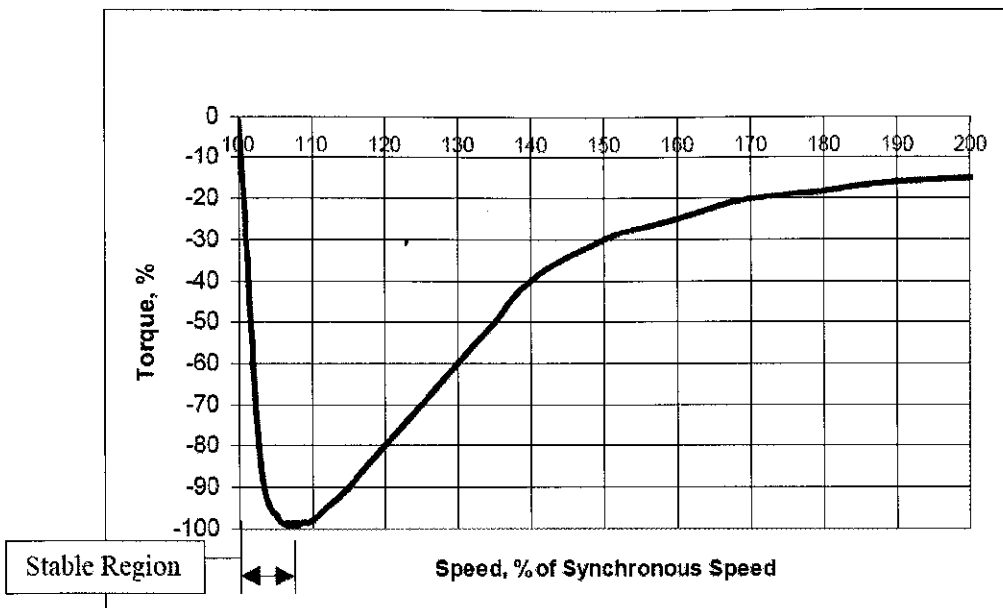
$$S = \frac{(N_s - N_n)}{N_s}$$

โดย N_n ค่าความเร็วพิกัดหรือความเร็วใช้งาน, (rpm)

มอเตอร์หนึ่งยาน้ำโดยทั่วไปจะทำงานที่สลิปประมาณ 2 - 4% (ข้อบัญญัติ, 2538)



รูปที่ 2.6 ลักษณะเฉพาะของความสัมพันธ์ระหว่างความเร็วรอบและแรงบิดของ มอเตอร์หนึ่งยาน้ำ



รูปที่ 2.7 ลักษณะเฉพาะของความสัมพันธ์ระหว่างความเร็วรอบและแรงบิดของเครื่องกำเนิดไฟฟ้าที่ใช้มอเตอร์เหนี่ยวนำ

2.6 การนำความร้อนเหลือทิ้งจากเครื่องยนต์แก๊สขีવภาพมาใช้ประโยชน์

ประมาณ 75 % ของพลังงานเชื้อเพลิงที่ป้อนเข้าสู่เครื่องยนต์แก๊สขีวภาพจะถูกปลดปล่อยเป็นความร้อนเหลือทิ้ง (waste heat) ดังนั้น จึงควรมีการนำความร้อนเหลือทิ้งจากเครื่องยนต์กลับมาใช้ประโยชน์ เช่น อุ่นป้อมักแก๊สขีวภาพ ต้มน้ำร้อนเพื่อใช้ประโยชน์ในฟาร์ม เป็นต้น เนื่องจากแก๊สไฮเดรบอนเครื่องยนต์มีความร้อนเหลือทิ้งในปริมาณมาก ซึ่งเหมาะสมสำหรับการนำกลับมาใช้ใหม่ ส่วนความร้อนเหลือทิ้งจากน้ำหล่อเย็นมีค่อนข้างน้อย โดยอุณหภูมิของแก๊สไฮเดรบอนเครื่องยนต์มีค่าประมาณ $315 - 600^{\circ}\text{C}$ ขณะที่อุณหภูมิของน้ำหล่อเย็น มีค่าประมาณ $60 - 120^{\circ}\text{C}$

การนำความร้อนเหลือทิ้งของเครื่องยนต์แก๊สขีวภาพมาใช้ใหม่ มีประโยชน์ทั้งทางตรงและทางอ้อม เช่น เพิ่มประสิทธิภาพการทำงาน ลดค่าใช้จ่าย และลดมลพิษ เป็นต้น ตัวอย่างการนำความร้อนเหลือทิ้งจากเครื่องยนต์แก๊สขีวภาพมาใช้ใหม่ เช่น

บอร์ดคุทช์ และทนงเกียรติ (2548) ประเมินความคุ้มค่าและความเหมาะสมของการนำเอาความร้อนทิ้งจากไฮเดรบอนกระบวนการผลิตไฟฟ้าจากแก๊สขีวภาพในฟาร์มสุกรมาใช้ในระบบทำความเย็นแบบดูดซึม เปรียบเทียบกับกรณีที่ไม่มีการเก็บคืนความร้อนทิ้งมาใช้ประโยชน์ ผลการศึกษาแสดงให้เห็นว่า กรณีที่ไม่มีการเก็บคืนความร้อนทิ้งมาใช้ประโยชน์ ระบบผลิตไฟฟ้าก้าชีวภาพจะมีประสิทธิภาพเพียง 16.9% แต่ในกรณีที่มีการเก็บคืนความร้อน ประสิทธิภาพของการใช้พลังงานจะ

เพิ่มขึ้นเป็น 24.8% และจากการประเมินความคุ้มค่าทางเศรษฐศาสตร์ พบว่าโครงการจะให้อัตราผลตอบแทนจากการลงทุน 29.34% มีระยะเวลาคืนทุน 3.47 ปี

ณัฐชิชา (2548) ศึกษาศักยภาพและความเป็นไปได้ในการใช้แก๊สชีวภาพจากโรงงานแปรรูปน้ำสำปะหลังในการผลิตไฟฟ้าและความร้อนร่วม ผลการศึกษาทำให้ทราบว่า การนำแก๊สชีวภาพมาเป็นเชื้อเพลิงให้ระบบผลิตไฟฟ้าและความร้อนร่วมโดยใช้เครื่องยนต์แก๊สชีวภาพ จะให้ผลตอบแทนการลงทุนดีที่สุด

2.7 การวิเคราะห์ประสิทธิภาพของระบบผลิตไฟฟ้าร่วมกับพัฒนาความร้อนด้วยแก๊สชีวภาพ

การวิเคราะห์หาประสิทธิภาพของระบบทำความร้อนด้วยเครื่องยนต์แก๊สชีวภาพ ประกอบด้วย

1. การหาประสิทธิภาพของเครื่องยนต์แก๊สชีวภาพ

- กำลังของเครื่องยนต์, (kW) หาได้จากการวัดโดยใช้ไดนาโนมิเตอร์

$$P_b = \frac{2\pi NT}{60}$$

โดยที่ N คือ ความเร็วรอบเครื่องยนต์, (rpm)

T คือ แรงบิดของเครื่องยนต์, (Nm)

- ประสิทธิภาพของเครื่องยนต์

$$\eta_b = \frac{P_b}{\dot{m}_f HHV}$$

โดยที่ \dot{m}_f คือ อัตราการสิ้นเปลืองเชื้อเพลิง, (m^3/s)

HHV คือ ความร้อนของเชื้อเพลิง, (MJ/m^3)

- อัตราการสิ้นเปลืองเชื้อเพลิงจำเพาะ, (m^3/kWh)

$$sfc_b = \frac{\text{fuel consumption}}{P_b}$$

2. การหาประสิทธิภาพของการผลิตไฟฟ้าด้วยเครื่องยนต์แก๊สชีวภาพ

- กำลังไฟฟ้าที่ผลิตได้

$$P_e = \sqrt{3}VI \cos \phi$$

โอดที่ V คือ ความต่างศักย์ไฟฟ้าระหว่างสาย, (V)

I คือ กระแสไฟฟ้าในสาย, (A)

$\cos\phi$ คือ เพาเวอร์แฟคเตอร์ทางไฟฟ้า

- ประสิทธิภาพการผลิตไฟฟ้า,

$$\eta_{electrical} = \frac{P_e}{\dot{m}_f HHV}$$

- อัตราการสิ้นเปลืองเชื้อเพลิงจำเพาะในการผลิตไฟฟ้า, (m^3/kWh)

$$sfc_{electrical} = \frac{fuel\ consumption}{P_b}$$

3. การหาประสิทธิภาพของการทำความร้อนด้วยความร้อนจากเครื่องยนต์แก๊สชีวภาพ

- พลังงานความร้อนที่ถ่ายเท, (kW)

$$Q = \dot{m} C_p (T_2 - T_1)$$

โอดที่ \dot{m} คือ อัตราการไหล, (m^3/s)

C_p คือ ความถูกความร้อนจำเพาะ, ($kJ/m^3{}^\circ C$)

T_1 คือ อุณหภูมิด้านເเข້າ, (${}^\circ C$)

T_2 คือ อุณหภูมิด้านອອກ, (${}^\circ C$)

- ประสิทธิภาพการทำความร้อน

$$\eta_{heating} = \frac{Q}{\dot{m}_f HHV}$$

บทที่ 3

อุปกรณ์และวิธีการ

3.1 บทนำ

การศึกษาระบบทำความร้อนสำหรับกลุ่มสูกรในโรงเรือนคลอดนี้ ได้แบ่งการดำเนินงานออกเป็น 3 ขั้นตอน คือ 1) การศึกษาประสิทธิภาพของระบบผลิตไฟฟ้าร่วมกับพลังงานความร้อนด้วยแก๊สชีวภาพ เพื่อหาค่าพลังงานความร้อนเหลือทิ้งที่สามารถนำกลับมาใช้ประโยชน์ในระบบกลุ่มสูกร 2) การศึกษาคุณสมบัติทางกายภาพของแผ่นก่อโดยการทดสอบในห้องปฏิบัติการ และ 3) การติดตั้งและทดสอบประสิทธิภาพของระบบกลุ่มสูกรในโรงเรือนคลอด รวมทั้งการวิเคราะห์ทางเศรษฐศาสตร์เกี่ยวกับต้นทุน-กำไรของโครงการ เพื่อเป็นข้อมูลต้นแบบที่จะนำไปสู่การเผยแพร่และใช้ประโยชน์จริงแก่ฟาร์มอื่น ๆ

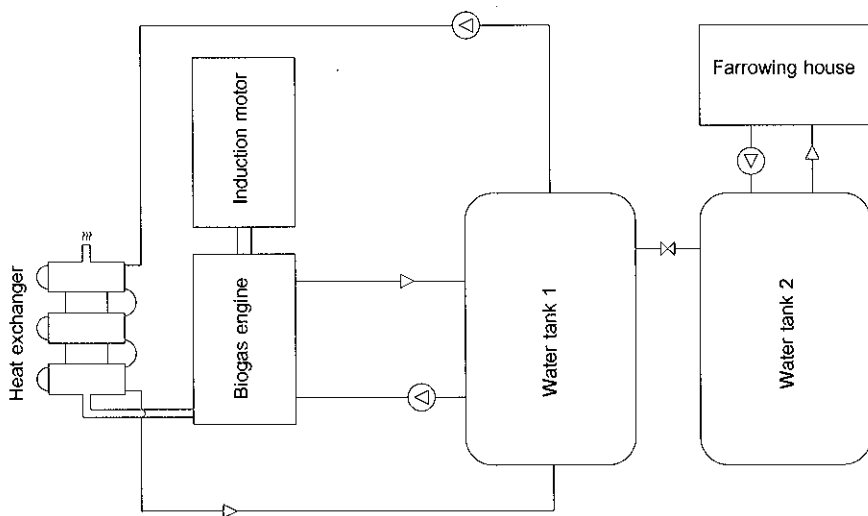
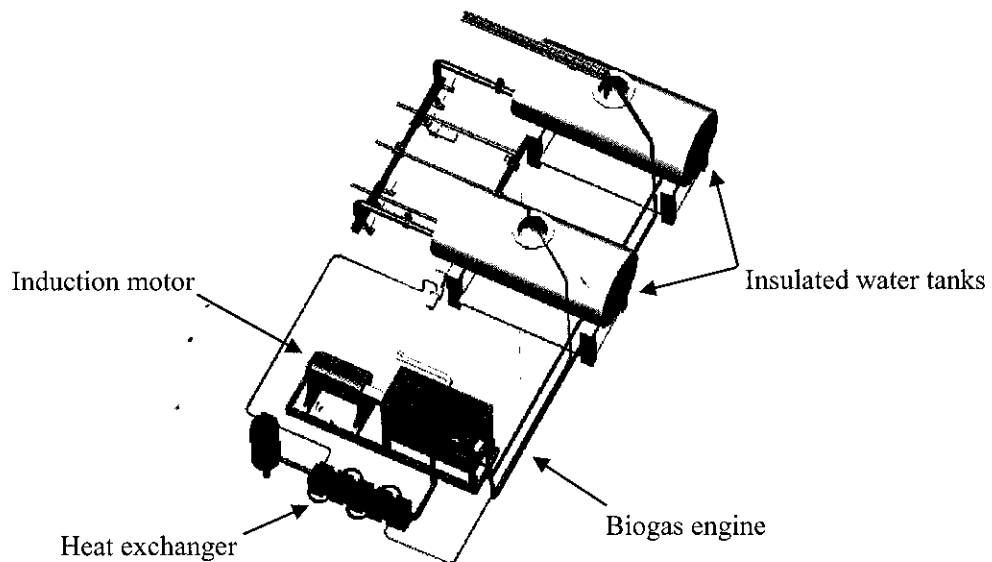
3.2 ระบบผลิตไฟฟ้าร่วมกับพลังงานความร้อนด้วยแก๊สชีวภาพ

งานวิจัยนี้จะทำการทดสอบ ระบบผลิตไฟฟ้าร่วมกับพลังงานความร้อนด้วยแก๊สชีวภาพ (biogas combined heat and power plant, or biogas CHP plant) ที่ใช้ในฟาร์มสูกร องค์ประกอบสำคัญของระบบ คือ เครื่องยนต์แก๊สชีวภาพ มอเตอร์เหนี่ยวนำ เครื่องแยกเปลี่ยนความร้อน ถังน้ำ เป็นต้น ดังแสดงไว้ในรูปที่ 3.1 ระบบผลิตไฟฟ้าร่วมกับพลังงานความร้อนนี้ ผลิตทั้งพลังงานไฟฟ้าสำหรับใช้ในฟาร์ม และน้ำร้อนสำหรับกลุ่มสูกร โรงเรือนคลอด จากการศึกษานี้พบว่า พลังงานความร้อนของเครื่องยนต์แก๊สชีวภาพที่ถ่ายเทให้กับน้ำหล่อเย็นมีค่าน้อย และไม่เพียงพอที่จะนำไปใช้ประโยชน์ในการกักลุ่มสูกร ดังนั้นผู้วิจัยจึงได้ทำการปรับปรุงระบบแยกเปลี่ยนความร้อน โดยการนำพลังงานความร้อนเหลือทิ้งจากน้ำหล่อเย็นและแก๊สไอกลับของเครื่องยนต์มาใช้ในการผลิตน้ำร้อน

เครื่องยนต์แก๊สชีวภาพเป็นเครื่องยนต์ที่ดัดแปลงมาจากเครื่องยนต์ดีเซล ขนาด 6 ลูก โดยได้รับการเปลี่ยนแปลงระบบการจุดระเบิด จากการจัดอากาศให้มีความดันและอุณหภูมิสูงแล้วนิดหนึ่งเดียวกับเครื่องยนต์ดีเซล ให้มีแรงดันและอุณหภูมิสูงแล้วจุดระเบิดด้วยประกายไฟจากหัวเทียน เครื่องยนต์แก๊สชีวภาพนี้ถูกติดตั้งไว้กับมอเตอร์เหนี่ยวนำแบบ 4 pole 380 V 50 Hz, 110 kW เพื่อทำหน้าที่เป็นเครื่องกำเนิดไฟฟ้า มอเตอร์เหนี่ยวนำนี้มีความเร็วสนามแม่เหล็ก (synchronous speed) เท่ากับ 1,500 rpm

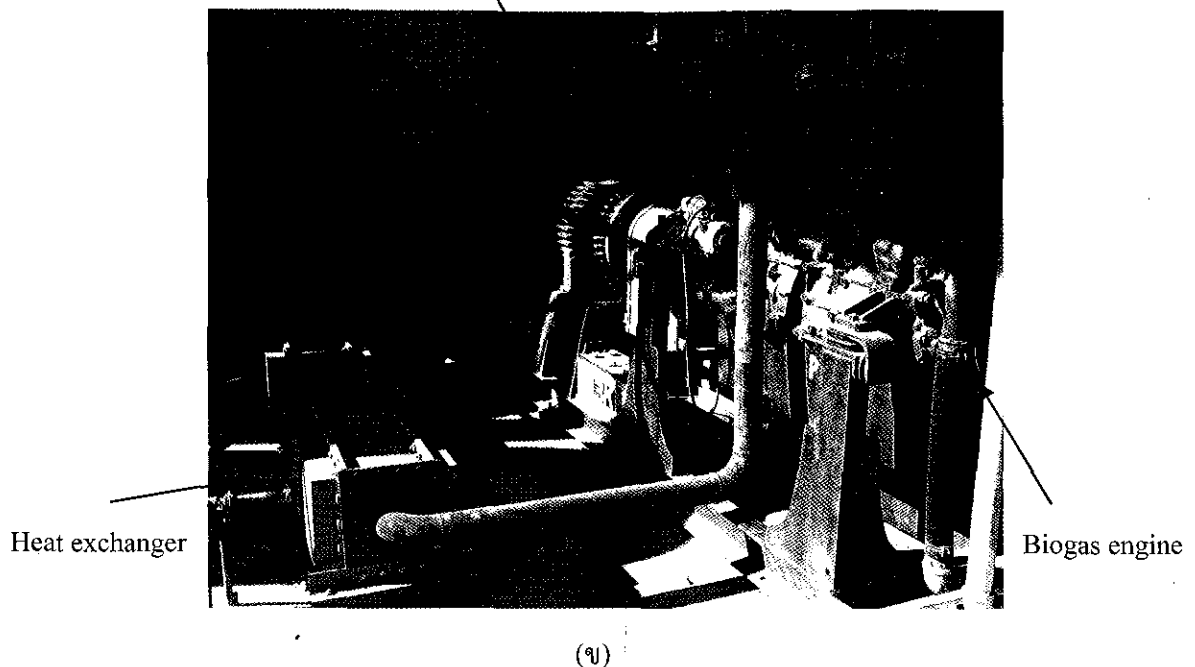
เครื่องแปลงเปลี่ยนความร้อน (heat exchanger) เป็นแบบท่อว่างขวางการไหลของแก๊สไฮเดรต โดยใช้ท่อทองแดงขนาดเส้นผ่าศูนย์กลาง 19.05 mm เป็นตัวแปลงเปลี่ยนความร้อน และมีพื้นที่ผิวแปลงเปลี่ยนความร้อนทั้งหมดเท่ากับ 2.92 m^2

ถังน้ำที่ใช้มีขนาด 3,000 L จำนวน 2 ใบ หุ้มด้วยฉนวนป้องกันความร้อน ทำหน้าที่เก็บและรักษาอุณหภูมินำที่ได้รับพลังงานความร้อนจากเครื่องยนต์แก๊สชีวภาพ

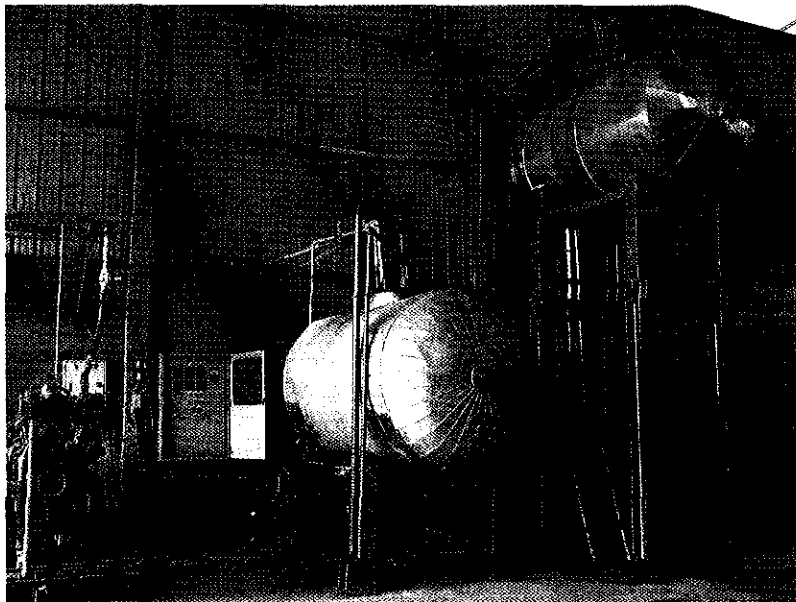


(ก)

Induction motor



(ก)

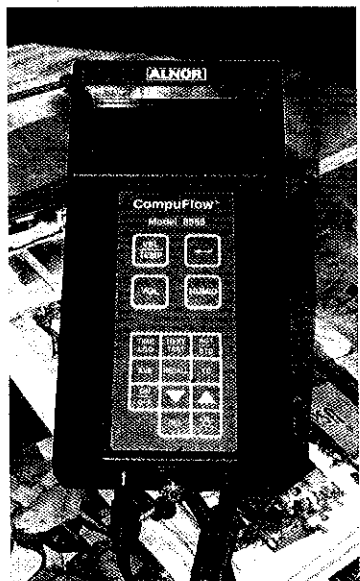


(ก)

รูปที่ 3.1 ระบบผลิตไฟฟ้าร่วมกับพลังงานความร้อนด้วยแก๊สชีวภาพ (ก) แผนผังของระบบ (ข) การติดตั้งเครื่องแยกเปลี่ยนความร้อนเข้ากับเครื่องยนต์แก๊สชีวภาพ (ก) ถังเก็บน้ำร้อน

3.3 การถ่ายเทความร้อนในเครื่องยนต์แก๊สชีวภาพ

เครื่องมือและอุปกรณ์การวัดที่ใช้ในการศึกษาการถ่ายเทความร้อนในเครื่องยนต์แก๊สชีวภาพเพื่อหาค่าพารามิเตอร์ต่าง ๆ ลูกแสดงไว้ในรูปที่ 3.2 และตารางที่ 3.1 แผนผังแสดงการติดตั้งเครื่องมือวัดในระบบผลิตไฟฟ้าร่วมกับพลังงานความร้อนลูกแสดงไว้ในรูปที่ 3.3



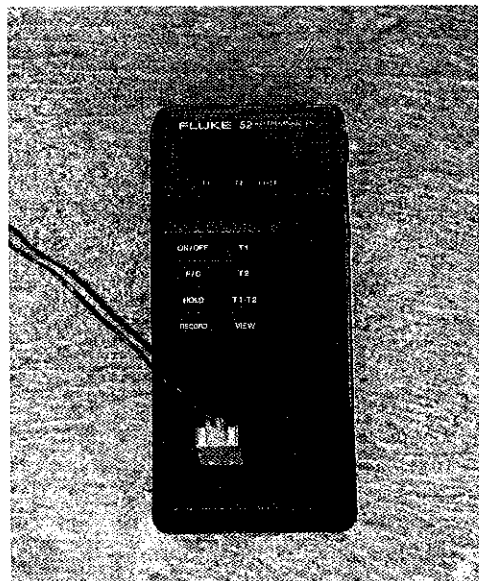
(ก)



(ข)



(ก)



(ข)



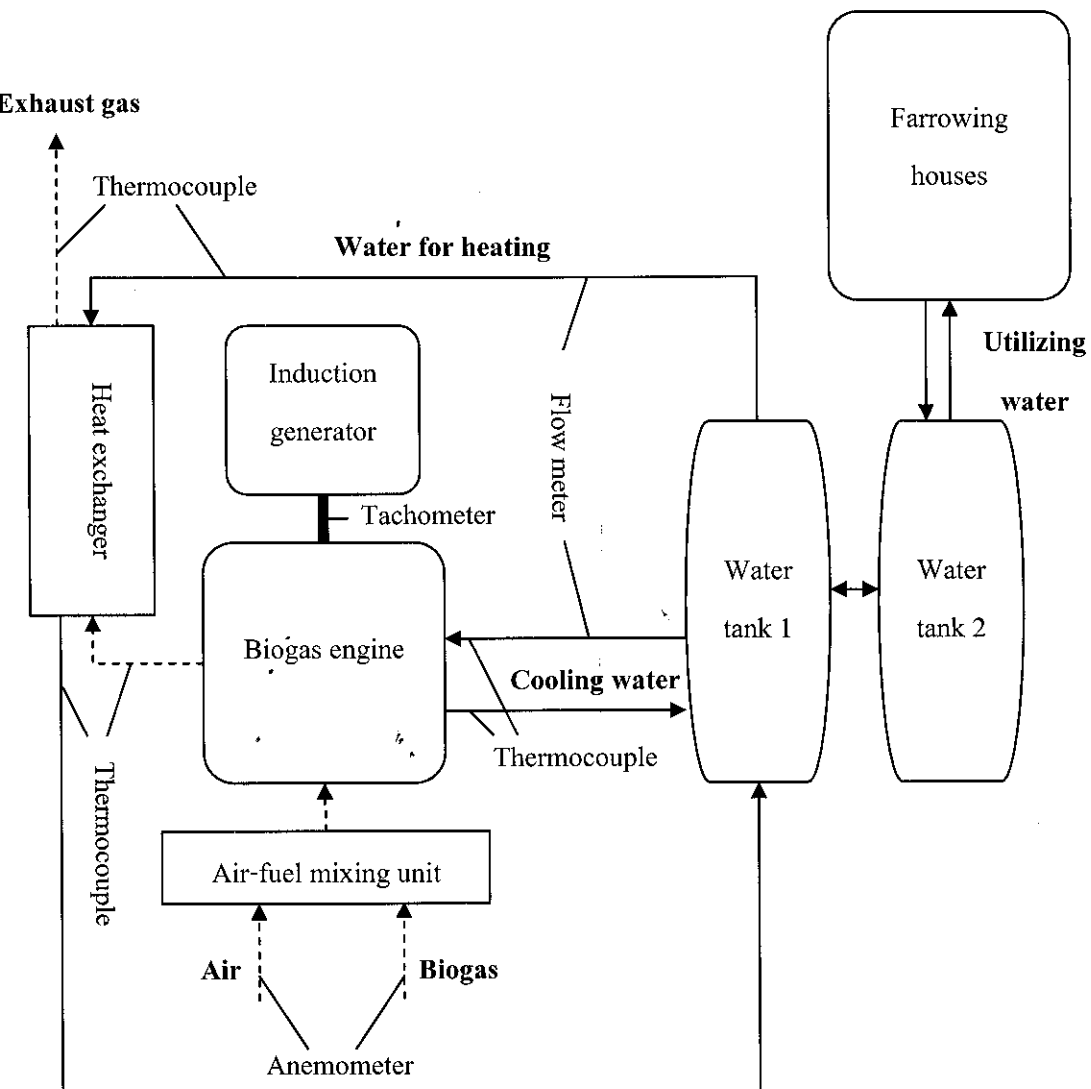
(ج)

รูปที่ 3.2 เครื่องมือและอุปกรณ์การวัดสำหรับการศึกษาการถ่ายเทความร้อนในเครื่องยนต์แก๊สชีวภาพ

(ก) Anemometer (ข) Ultrasonic flow meter (ค) Tachometer (ง) Thermocouple (จ) Power meter

ตารางที่ 3.1 พารามิเตอร์และเครื่องมือวัดในการทดสอบเครื่องยนต์แก๊สชีวภาพ

Parameters	Instruments
Flow rates	
Gas low rate, m^3/h	Anemometer
Air flow rate, m^3/h	Anemometer
Water flow rate, m^3/h	Ultrasonic Flow meter
Temperatures	
Exhaust temperature, $^\circ\text{C}$	Thermocouple
Cooling water temperatures, $^\circ\text{C}$	Thermocouple
Water in heat exchanger temperatures, $^\circ\text{C}$	Thermocouple
Biogas engine speed, rpm	Tachometer
Electrical measurement	
Voltage, V	Power meter
Ampere, A	Power meter
Power factor	Power meter



รูปที่ 3.3 แผนผังแสดงระบบการวัดในระบบผลิตไฟฟ้าร่วมกับพลังงานร้อน

พลังงานความร้อนทั้งหมดของเครื่องยนต์แก๊สชีวภาพ สามารถหาได้จากการทดลองเดินระบบผลิตไฟฟ้าร่วมกับพลังงานความร้อน แก๊สชีวภาพจะถูกผสมกับอากาศเพื่อป้อนเข้าสู่เครื่องยนต์ในจังหวะดูด โดยอัตราส่วนผสมระหว่างอากาศและแก๊สชีวภาพสามารถปรับได้โดยใช้วาล์วควบคุมจากสมดุลพลังงานของเครื่องยนต์พบว่า พลังงานความร้อนที่ได้จากการเผาไหม้แก๊สชีวภาพ (Q_{fuel}) มีค่าเท่ากับ ผลรวมของพลังงานไฟฟ้าที่ผลิตได้ ($Q_{electrical}$) พลังงานความร้อนที่ถ่ายเทให้กับน้ำหล่อเย็น ($Q_{coolant}$) พลังงานความร้อนของแก๊สไอเสียที่นำกลับมาได้ (Q_{EGR}) และพลังงานความร้อนที่สูญเสีย (Q_{loss}) ซึ่งสามารถเขียนให้อยู่ในรูปสมการได้ดังนี้

$$Q_{fuel} = Q_{electrical} + Q_{coolant} + Q_{EGR} + Q_{loss} \quad (3.1)$$

$$Q_{fuel} = HHV_g \cdot \dot{m}_g \quad (3.2)$$

$$Q_{electrical} = \sqrt{3}VI \cos \phi \quad (3.3)$$

$$Q_{coolant} = \dot{m}_C C_{Pw} (T_{Cout} - T_{Cin}) \quad (3.4)$$

$$Q_{EGR} = \dot{m}_E C_{Pw} (T_{Eout} - T_{Ein}) \quad (3.5)$$

โดยที่ HHV_g คือ ความร้อนสูงของแก๊สชีวภาพ \dot{m}_g , \dot{m}_C และ \dot{m}_E คือ อัตราการให้หุงของแก๊สชีวภาพ น้ำหล่อลื่น และน้ำผ่านเครื่องแลกเปลี่ยนความร้อน ตามลำดับ V คือ ความต่างศักย์ไฟฟ้าระหว่างสาย I คือ กระแสไฟฟ้าในแต่ละสาย $\cos \phi$ คือ เพาเวอร์เฟกเตอร์ทางไฟฟ้า C_{Pw} คือ ความจุความร้อนจำเพาะของน้ำ ซึ่งมีค่าเท่ากับ $4.18 \text{ kJ/m}^3 \text{ }^\circ\text{C}$ T_{Cin} , T_{Cout} , T_{Ein} และ T_{Eout} คือ อุณหภูมิของน้ำด้านเข้าเครื่องยนต์ น้ำด้านออกจากเครื่องยนต์ น้ำด้านเข้าเครื่องแลกเปลี่ยนความร้อน และนำด้านออกจากเครื่องแลกเปลี่ยนความร้อน ตามลำดับ

ในการผลิตไฟฟ้า เครื่องยนต์แก๊สชีวภาพจะต้องทำงานที่ความเร็วรอบมากกว่าความเร็วสนามแม่เหล็กของมอเตอร์ เพื่อทำให้มอเตอร์ทำงานที่เป็นโคนามิ ระบบผลิตไฟฟ้านี้สามารถผลิตไฟฟ้าป้อนเข้าระบบไฟฟ้าของการไฟฟ้าฯ ได้ทันที โดยระบบจะผลิตเฉพาะกระแสไฟฟ้า ส่วนแรงดันและความถี่จะใช้ของการไฟฟ้าฯ ในการทดสอบ เนื่องจากมอเตอร์มีความเร็วสนามแม่เหล็กเท่ากับ $1,500 \text{ rpm}$ ดังนั้นเครื่องยนต์แก๊สชีวภาพจึงถูกกำหนดความเร็วรอบให้คงที่ไว้ที่ $1,520 \text{ rpm}$ โดยมีอัตราการให้หุงของน้ำหล่อลื่นและน้ำผ่านเครื่องแลกเปลี่ยนความร้อนเท่ากับ 136.7 L/min และ 78 L/min ตามลำดับ เพื่อใช้ในการนำความร้อนออกจากเครื่องยนต์

ประสิทธิภาพการผลิตไฟฟ้า (electrical efficiency) สามารถคำนวณหาได้จาก

$$\eta_{electrical} = \frac{Q_{electrical}}{Q_{fuel}} \quad (3.6)$$

และอัตราการสิ้นเปลืองเชื้อเพลิงจำเพาะในการผลิตไฟฟ้า (specific fuel consumption : sfc) ซึ่งเป็นดัชนีวัดอัตราการใช้เชื้อเพลิงแก๊สชีวภาพต่อพลังงานไฟฟ้าที่ผลิตได้ คือ

$$sfc_{electrical} = \frac{\dot{m}_g}{Q_{electrical}} \quad (3.7)$$

พลังงานความร้อนที่จะนำไปใช้ประโยชน์ในการกอกลูกสุกร คือ ผลกระทบของพลังงานความร้อนของน้ำหล่อลื่นและพลังงานความร้อนของแก๊สไออกซีเจนที่นำกลับมาได้ ซึ่งสามารถนำมาคำนวณหาประสิทธิภาพการทำความร้อน (heating efficiency) ได้ดังนี้

$$\eta_{heating} = \frac{Q_{coolant} + Q_{EGR}}{Q_{fuel}} \quad (3.8)$$

ประสิทธิภาพของระบบผลิตไฟฟ้าร่วมกับพลังงานความร้อน (CHP efficiency) คือ

$$\eta_{CHP} = \eta_{heating} + \eta_{electrical} = \frac{Q_{coolant} + Q_{EGR} + Q_{electrical}}{Q_{fuel}} \quad (3.9)$$

และอัตราการสิ้นเปลืองเชื้อเพลิงจำเพาะของระบบผลิตไฟฟ้าร่วมกับพลังงานความร้อน ซึ่งเป็นดังนี้ วัดอัตราการใช้เชื้อเพลิงแก๊สชีวภาพต่อพลังงานที่ได้จากเครื่องยนต์แก๊สชีวภาพ คือ

$$sfc_{CHP} = \frac{\dot{m}_g}{Q_{electrical} + Q_{coolant} + Q_{EGR}} \quad (3.10)$$

3.4 การศึกษาคุณสมบัติของแผ่นกอก

แผ่นกอกทำจากพลาสติกชนิด high-density polyethylene (HDPE) ขนาด 40 cm x 40 cm ถูกขึ้นรูปให้มีความแข็งแรงสำหรับรับน้ำหนักของอุบัติเหตุ และใช้แทนพื้นคอนกรีต โรงเรือนคลอดไคร์ ด้านล่างของแผ่นคิดจำนวนป้องกันการผุบสูญเสียความร้อน

แผ่นกอกถูกนำมาทดสอบเพื่อหาค่าความแข็งแรง ความต้านทานแรงดันภายในแผ่น ค่าการนำความร้อน และค่าความสัมพันธ์ระหว่างอัตราการไหลของน้ำผ่านแผ่นกอกและอุณหภูมิผิวแผ่นกอก ศูนย์เครื่องมือวิทยาศาสตร์และเทคโนโลยี มหาวิทยาลัยเทคโนโลยีสุรนารี การทดสอบแผ่นกอกในห้องปฏิบัติการถูกแสดงไว้ในรูปที่ 3.4 – 3.7

1. การทดสอบความแข็งแรงของแผ่นกอกทำโดยอาศัยการกดด้วยเครื่องกด Universal Testing Machine (UTM) โดยใช้หัวกดแบบหน้าตัดวงกลมขนาดเส้นผ่านศูนย์กลาง 22 cm กดตรงตำแหน่งกึ่งกลางแผ่นกอก

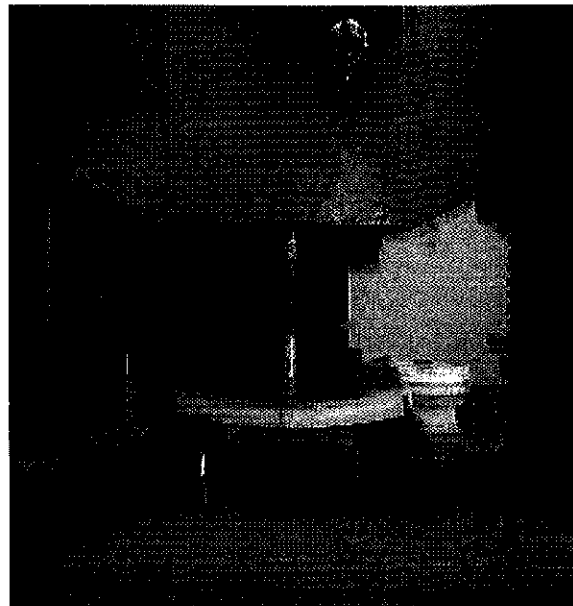
2. การทดสอบความต้านทานแรงดันของแผ่นกอกทำโดยอาศัยการทดสอบสูบน้ำที่มีอุณหภูมิ 26 °C ผ่านแผ่นกอกด้วยค่าแรงดันต่าง ๆ จนกระทั่งเกิดการรั่วซึมของน้ำออกจากแผ่นกอก

3. การทดสอบหาค่าการนำความร้อนของแผ่นกอก ทำโดยอาศัยหลักการนำความร้อนผ่านผนังหลายชั้นและวัสดุต่างชนิดกัน (conduction along a composite bar) ด้วยเครื่อง Heat Transfer Service Unit H110 ชิ้นทดสอบ (sample) ทำการชี้นส่วนของแผ่นกอกที่ถูกตัดเป็นวงกลมขนาดเส้นผ่านศูนย์กลาง 25 mm หนา 1.5 mm

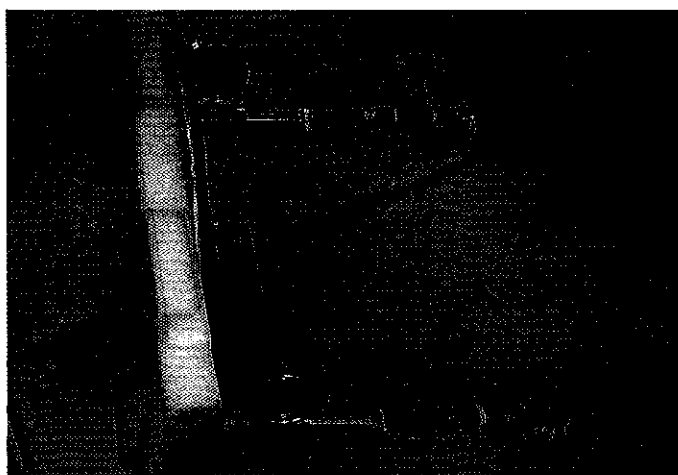
4. ความสัมพันธ์ระหว่างอัตราการไหลของน้ำผ่านแผ่นกอกและอุณหภูมิที่ผิวแผ่นกอกสามารถหาจากการทดสอบสูบน้ำผ่านแผ่น 1 แผ่น และแผ่นกอกที่ต่อเรียงกันแบบอนุกรม 3 แผ่น ใน

ห้องปฏิบัติการที่ความคุณอุณหภูมิห้องไว้ที่ 25°C โดยทำการวัดอัตราการไหลของน้ำ อุณหภูมน้ำเข้า และออกแผ่นกอก และอุณหภูมิที่ผิวแผ่นกอก

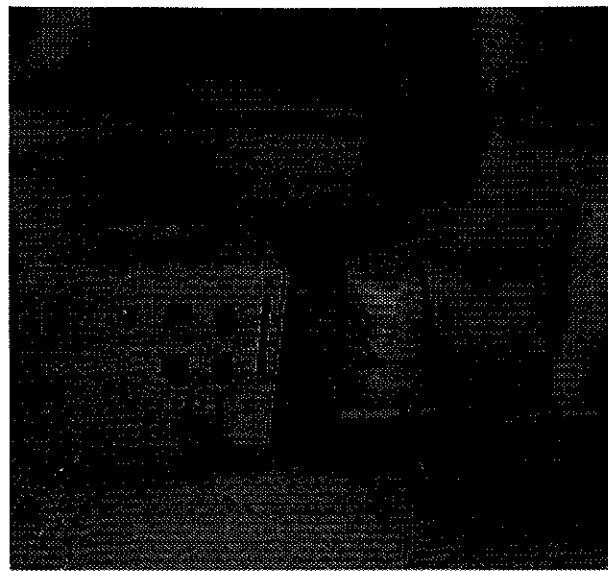
พารามิเตอร์ต่าง ๆ ของการทดสอบเหล่านี้ถูกแสดงไว้ในตารางที่ 3.2



รูปที่ 3.4 การทดสอบความแข็งแรงของแผ่นกอกด้วยเครื่อง UTM



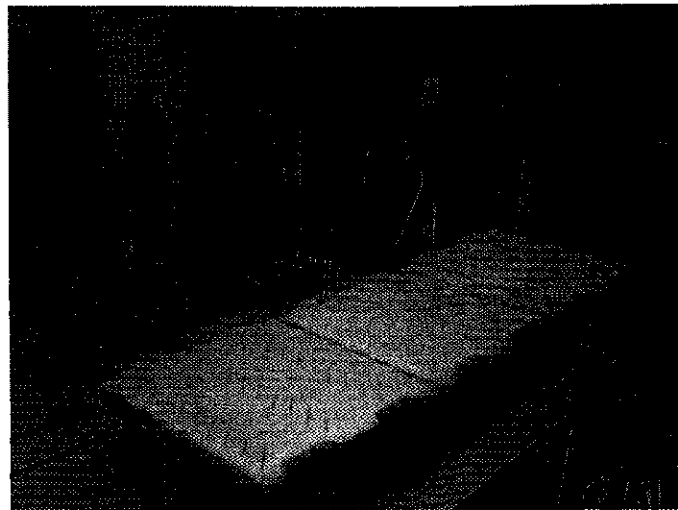
รูปที่ 3.5 การทดสอบหาความด้านทานแรงดันน้ำของแผ่นกอก



รูปที่ 3:6 การทดสอบหาค่าการนำความร้อนของแผ่นกําด้วย
เครื่อง Heat Transfer Service Unit H110



(ก)



(ว)

รูปที่ 3.7 การทดสอบหาความสัมพันธ์ระหว่างอัตราการไหลของน้ำร้อนและอุณหภูมิที่ผิวแผ่นก๊อก (ก) แผ่นก๊อก 1 แผ่น (ข) แผ่นก๊อก 3 แผ่น ต่อแบบอนุกรม

ตารางที่ 3.2 พารามิเตอร์และเครื่องมือวัดในการทดสอบแผ่นก๊อก

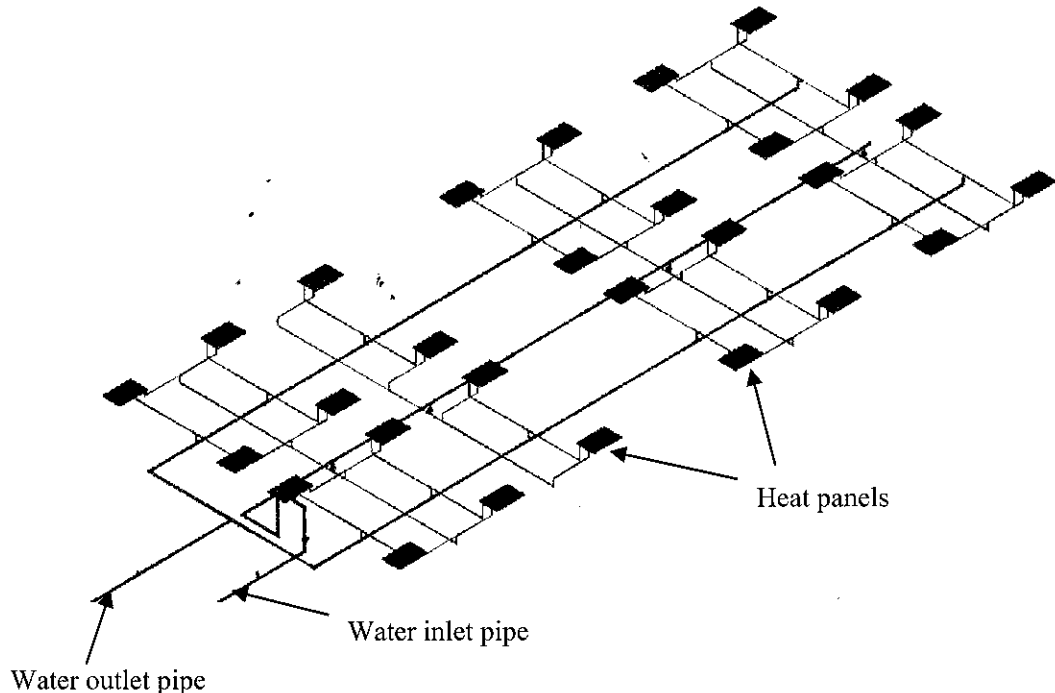
Parameters	Instruments
Strength, kN	UTM
Pressure, bar	Pressure Gauge
Thermal conductivity, W/m [°] C	Heat Transfer Service Unit
Surface temperature, °C	Thermocouple
Inlet & outlet water temperatures, °C	Thermocouple
Water flow rate, m ³ /h	Flow meter

3.5 การติดตั้งและทดสอบประสิทธิภาพของระบบกลูกสูกรในโรงเรือนคลอด

องค์ประกอบหลัก ๆ ของระบบกลูกสูกรประกอบด้วย ถังน้ำ แผ่นก๊อก และปืนน้ำ ถังน้ำที่ใช้มีขนาด 3,000 L จำนวน 2 ใบ หุ้มด้วยฉนวนป้องกันความร้อน ทำหน้าที่เก็บและรักษาอุณหภูมน้ำที่ได้รับพลังงานความร้อนจากเครื่องยนต์แก๊สชีวภาพ ส่วนแผ่นก๊อกถูกนำมาเรียงต่อกันเป็นพื้นที่ในโรงเรือนคลอด เพื่อทำหน้าที่ถ่ายเทความร้อนจากน้ำมาให้ความอบอุ่นแก่ลูกสูกร โดยนำแผ่นก๊อกจำนวน 6 แผ่น มาเรียงต่อกันเป็น 1 ชุด (2 แล้ว ๆ ละ 3 แผ่น) สำหรับกลูกสูกร 2 គอก ใน 1 โรงเรือน ประกอบด้วยคอกกลูกสูกร 56 គอก ถังน้ำระบบกลูกสูกรนี้ใช้แผ่นก๊อกทั้งสิ้น 168 แผ่น

การหมุนเวียนน้ำในระบบทำโดยการยกถังน้ำให้สูงขึ้นจากพื้น 3 m เพื่อให้น้ำมีแรงดันมากพอที่จะไหลหมุนเวียนในระบบท่อซึ่งเป็นท่อเหล็กขนาด 25.4 mm และไม่ทำให้แผ่นกรรไวย์เมื่อน้ำไหลผ่าน โครงเรือนคลอดแล้วจะถูกสูบกลับลงน้ำต่อไป ลักษณะการติดตั้งแผ่นกําและระบบท่อได้แสดงไว้ในรูปที่ 3.8

การทดสอบประสิทธิภาพของระบบกําลูกสุกรทำโดยการวัดอัตราการไหลของน้ำ อุณหภูมิน้ำเข้าและออก โรงเรือน อุณหภูมิที่ผิวของแผ่นกํา พารามิเตอร์ต่าง ๆ และเครื่องมือวัดที่ใช้ในการทดสอบถูกแสดงไว้ในตารางที่ 3.3



รูปที่ 3.8 แผนผังการติดตั้งแผ่นกําและระบบท่อในโรงเรือนคลอด

ตารางที่ 3.3 พารามิเตอร์และเครื่องมือวัดในการทดสอบระบบกําลูกสุกรในโรงเรือนคลอด

Parameters	Instruments
Water flow rate, m^3/h	Flow meter
Surface temperature, $^\circ\text{C}$	Infrared thermometer
Inlet & outlet water temperatures, $^\circ\text{C}$	Thermocouple

บทที่ 4

ผลการศึกษาและวิจารณ์

4.1 ประสิทธิภาพของระบบผลิตไฟฟ้าร่วมกับพลังงานความร้อนด้วยแก๊สชีวภาพ

จากการทดลองเดินระบบผลิตไฟฟ้าร่วมกับพลังงานความร้อนด้วยแก๊สชีวภาพ ตารางที่ 4.1 แสดงการถ่ายเทความร้อนในเครื่องยนต์แก๊สชีวภาพขณะทำการทดสอบที่ความเร็วรอบ 1,520 rpm จากตารางพบว่า ระบบสามารถผลิตกำลังไฟฟ้าได้สูงสุด 75 kW โดยมีอัตราการสิ้นเปลืองเชื้อเพลิง $2.17 \text{ m}^3/\text{min}$ ในขณะที่ สภาวะการทำงานที่ 40 kW เป็นสภาวะการทำงานต่ำสุดที่เครื่องยนต์แก๊สชีวภาพสามารถทำงานได้ (เครื่องยนต์จะดับถ้าปรับอัตราการไหลของแก๊สชีวภาพให้ต่ำกว่านี้)

ตารางที่ 4.1 การถ่ายเทความร้อนในเครื่องยนต์แก๊สชีวภาพ

$Q_{electrical}$	Biogas Consumption	Q_{fuel}	$Q_{coolant}$	Q_{EGR}	Q_{loss}
(kW)	(m^3/min)	(kW)	(kW)	(kW)	(kW)
40	1.08	378.00	45.15	19.86	272.98
50	1.11	387.45	48.91	19.51	269.03
60	1.22	428.09	53.30	48.32	266.46
70	1.69	592.99	84.66	65.50	372.83
75	2.17	758.36	103.47	78.38	501.51

ประสิทธิภาพของระบบผลิตไฟฟ้าร่วมกับพลังงานความร้อนถูกแสดงไว้ในตารางที่ 4.2 เมื่อพิจารณาถึง $\eta_{electrical}$ เพียงอย่างเดียวพบว่า สภาวะการทำงานที่ 75 kW เป็นสภาวะที่ไม่เหมาะสมสำหรับการผลิตไฟฟ้าเพื่อใช้ในฟาร์ม เนื่องจากมีอัตราการสิ้นเปลืองแก๊สชีวภาพที่สูงมาก โดยมี $\eta_{electrical}$ และ $sfc_{electrical}$ เท่ากับ 9.9 % และ $1.73 \text{ m}^3/\text{kWh}$ ตามลำดับ สภาวะการทำงานที่เหมาะสมสำหรับการผลิตไฟฟ้าคือ สภาวะการทำงานที่เครื่องยนต์ผลิตกำลังไฟฟ้าได้ 60 kW เพราะว่าในสภาวะนี้มีค่า $\eta_{electrical}$ และ $sfc_{electrical}$ เท่ากับ 14.0 % และ $1.22 \text{ m}^3/\text{kWh}$ ตามลำดับอย่างไรก็ตามเมื่อพิจารณาถึง $\eta_{heating}$ เพียงอย่างเดียวพบว่า ในสภาวะการทำงานที่ 70 kW สามารถนำพลังงานความร้อนเหลือทั้งกลับมาใช้ประโยชน์ได้มากที่สุด ซึ่งมีค่า $\eta_{heating}$ เท่ากับ 25.3 %

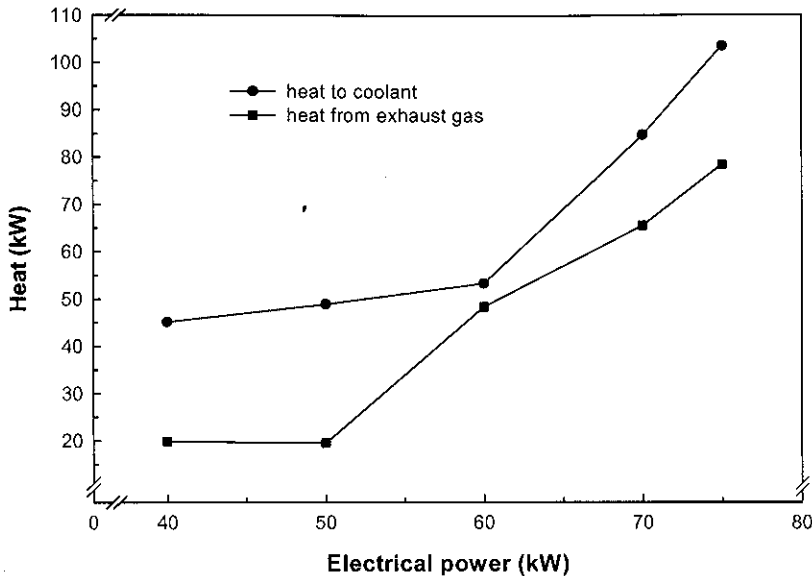
ผลการทดสอบในตาราง 4.2 แสดงให้เห็นว่า การผลิตไฟฟ้าร่วมกับพลังงานความร้อนทำให้ η_{CHP} ซึ่งเป็นประสิทธิภาพโดยรวมของระบบเพิ่มขึ้นจากทุกสภาวะการทำงานของเครื่องยนต์ เช่น สภาวะการทำงานที่ 60 kW มีค่า $\eta_{heating}$ เท่ากับ 23.7 % หรือมีค่าพลังงานความร้อนที่นำกลับมาใช้ประโยชน์ได้เท่ากับ 101.62 kW ดังนั้นทำให้ค่า η_{CHP} สูงขึ้นเท่ากับ 37.7% และมี sfc_{CHP} เท่ากับ 0.45 m^3/kWh และในสภาวะการทำงานนี้ พลังงานความร้อนที่ถ่ายเทให้กับน้ำหล่อเย็นและพลังงานความร้อนของแก๊สไออกซีที่คงกลับมาได้ มีค่าประมาณ 0.89 และ 0.8 kW ต่อพลังงานไฟฟ้าที่ผลิตได้ 1 kW ตามลำดับ ดังแสดงไว้ในรูปที่ 4.1

ถึงแม้ว่า สภาวะการทำงานที่ 50 kW จะมี $\eta_{electrical}$ ใกล้เคียงกับสภาวะการทำงานที่ 60 kW แต่มี $\eta_{heating}$ ที่ต่ำกว่าประมาณ 7.0 % ดังนั้นสภาวะการทำงานนี้ไม่ถูกเลือกให้เป็นสภาวะที่เหมาะสมสำหรับระบบผลิตไฟฟ้าร่วมกับพลังงานความร้อนนี้ ในทำนองเดียวกัน ถึงแม้ว่าสภาวะการทำงานที่ 70 kW จะมี $\eta_{heating}$ ใกล้เคียงกับสภาวะการทำงานที่ 60 kW แต่มี $\eta_{electrical}$ เพียง 11.8 %

โดยทั่วไป แก๊สชีวภาพ 1 m^3 สามารถนำมาผลิตไฟฟ้าได้ 1.8 – 2.0 kWh และ 1.2 – 1.5 kWh เมื่อใช้กับระบบผลิตไฟฟ้าด้วยเครื่องยนต์แก๊สชีวภาพ และเครื่องยนต์แก๊สชีวภาพดัดแปลง ตามลำดับ (Mitzlaff, 1988) แต่สำหรับเครื่องยนต์แก๊สชีวภาพดัดแปลงที่ใช้ในการทดสอบนี้ สามารถผลิตไฟฟ้าได้เพียง 0.82 kWh ซึ่งจะเห็นได้ว่า ประสิทธิภาพในการผลิตไฟฟ้าค่อนข้างต่ำ เนื่องจากเครื่องยนต์แก๊สชีวภาพเป็นเครื่องยนต์ที่ใช้งานนานนาน

ตารางที่ 4.2 ประสิทธิภาพของระบบผลิตไฟฟ้าร่วมกับพลังงานความร้อนด้วยแก๊สชีวภาพ

$Q_{electrical}$ (kW)	Biogas		Biogas combined heat and power plant				
	Consumption (m^3/min)	$\eta_{electrical}$ (%)	$sfc_{electrical}$ (m^3/kWh)	$\eta_{heating}$ (%)	η_{CHP} (%)	sfc_{CHP} (m^3/kWh)	
40	1.08	10.6	1.62	17.2	27.8	0.62	
50	1.11	12.9	1.33	17.7	30.6	0.56	
60	1.22	14.0	1.22	23.7	37.7	0.45	
70	1.69	11.8	1.45	25.3	37.1	0.46	
75	2.17	9.9	1.73	24.0	33.9	0.50	



รูปที่ 4.1 ปริมาณความร้อนเหลือทิ้งที่นำกลับมาได้จากเครื่องยนต์แก๊สชีวภาพ

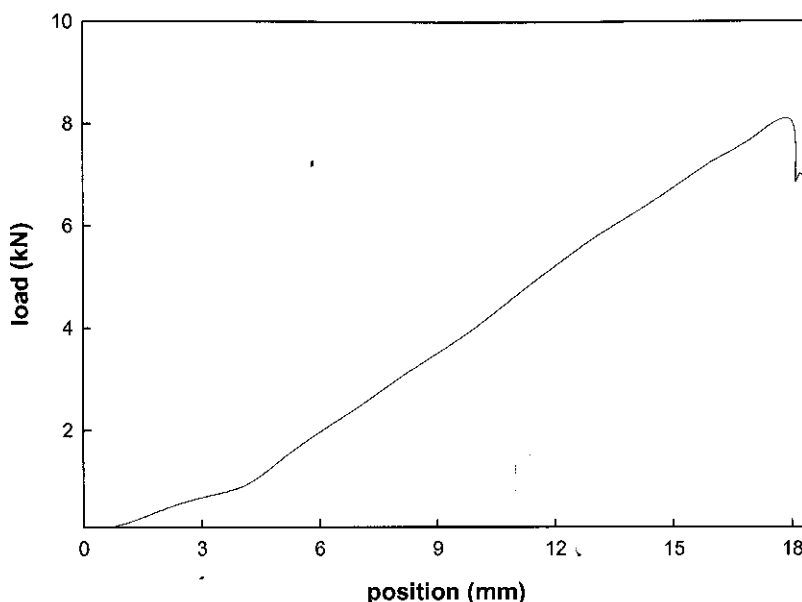
4.2 คุณสมบัติของแผ่นกํา

ผลการทดสอบแผ่นกําเพื่อหาค่า ความแข็งแรง ความต้านทานแรงดันภายในแผ่น ค่าการนำความร้อน ลูกแสดงไว้ในตารางที่ 4.3

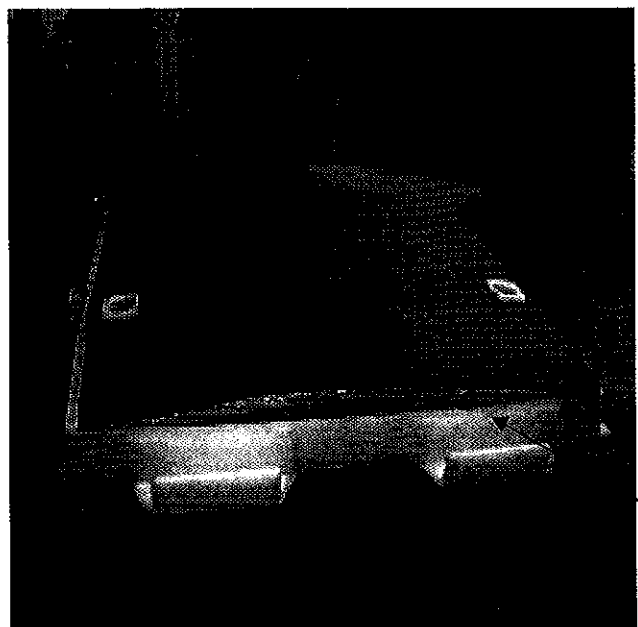
ตารางที่ 4.3 คุณสมบัติของแผ่นกํา

Parameters	
Maximum compression force, kN	8.10
Maximum pressure, bar	0.35
Thermal conductivity, W/m ² °C	0.58

จากการทดสอบจะเห็นได้ว่า แผ่นกํามีความแข็งแรงและยืดหยุ่นสูงมาก ทำให้สามารถนำแผ่นกํามาใช้แทนพื้นกํอกโรงเรือนก็ลดได้ รูปที่ 4.2 แสดงความสัมพันธ์ระหว่างแรงกดและระยะอ่อนตัวของแผ่นกํา และความเสียหายของแผ่นกํานៅองจากแรงกด



(ก)

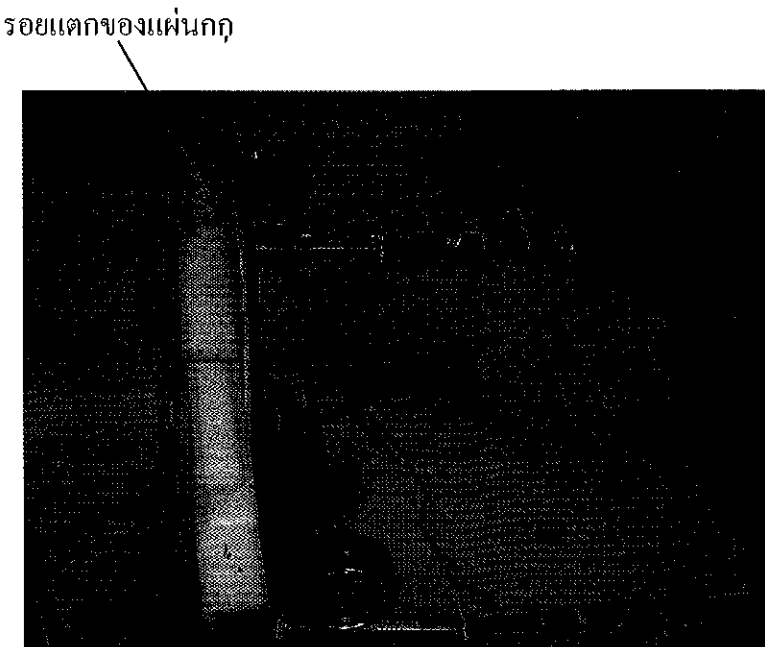


รอยแตกของแผ่นกอก

(ก)

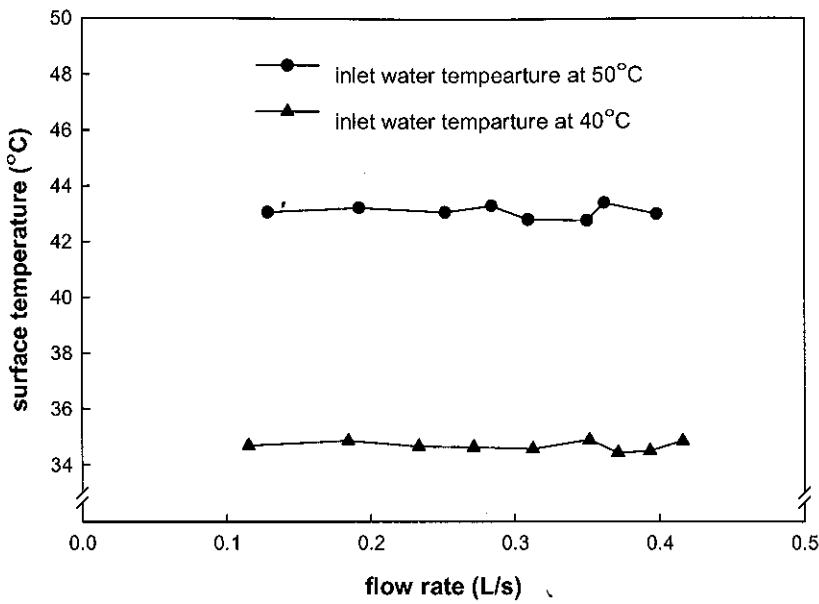
รูปที่ 4.2 ผลการทดสอบหาความแข็งแรงของแผ่นกอก (ก) ระยะยุบตัวและแรงกด^(ก) สภาพของแผ่นกอกหลังการทดสอบ

จากตารางที่ 4.3 จะเห็นได้ว่า แผ่นกากสามารถรับแรงดันได้น้อยมาก โดยเกิดรอยแตกบริเวณขอบด้านล่างของแผ่น ซึ่งเป็นรอยต่อระหว่างแผ่นประับด้านบนและด้านล่าง เนื่องจากรอยต่อนี้ถูกเชื่อมด้วยพลาสติกซึ่งทำให้มีความแข็งแรงน้อยกว่าบริเวณอื่นของแผ่นกาก ดังแสดงไว้ในรูปที่ 4.3



รูปที่ 4.3 ผลการทดสอบการหาแรงดันที่แผ่นกรับได้

รูปที่ 4.4 แสดงผลการทดสอบแผ่นกากเพื่อหาความสัมพันธ์ระหว่างอัตราการ ไหลของน้ำผ่านแผ่นกากและอุณหภูมิที่ผิวแผ่นกาก จากผลการทดสอบพบว่า อัตราการ ไหลของน้ำไม่มีอิทธิพลต่อการเปลี่ยนแปลงอุณหภูมิที่ผิวแผ่นกาก โดยอุณหภูมิที่ผิวแผ่นกากจะขึ้นอยู่กับอุณหภูมิของน้ำที่ไหลเข้าแผ่นกาก และจากการทดลองทั้ง 2 วิธี คือ สูบน้ำผ่านแผ่นกาก 1 แผ่น และ 3 แผ่น ที่ต่ออนุกรมกันพบว่าอุณหภูมิที่ผิวแผ่นกากมีค่าใกล้เคียงกัน กล่าวคือ เมื่อป้อนน้ำที่มีอุณหภูมิ 40°C และ 50°C ผ่านแผ่นกากในห้องปฏิบัติการที่ควบคุมอุณหภูมิห้องไว้ประมาณ 25°C จะได้อุณหภูมิที่ผิวแผ่นกากเฉลี่ยประมาณ 35°C และ 43°C ตามลำดับ

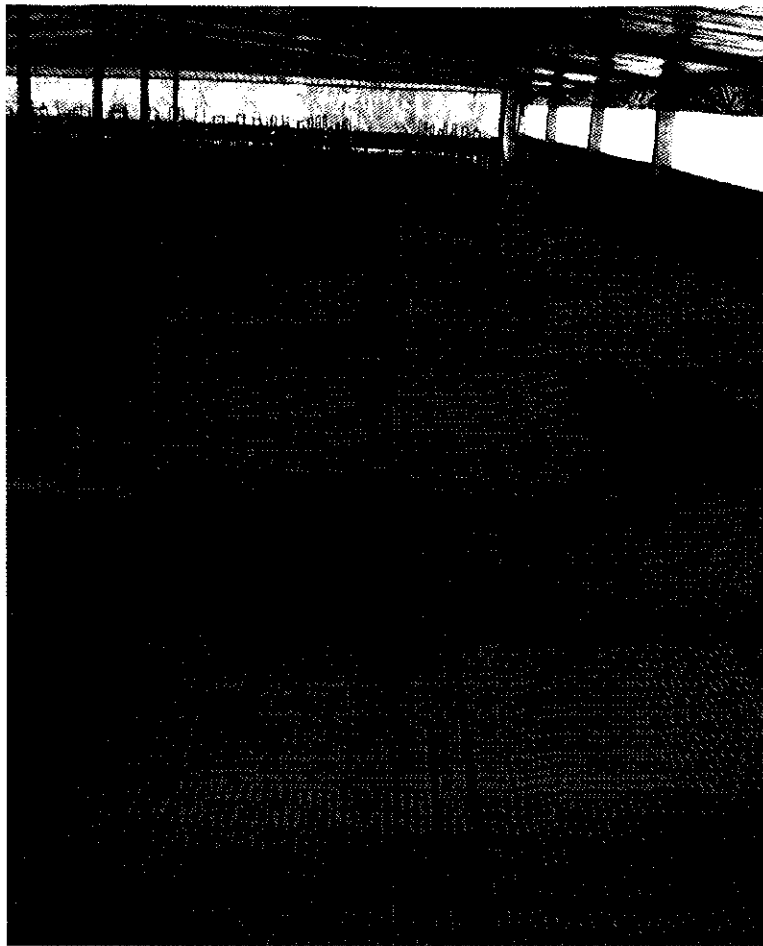


รูปที่ 4.4 ผลการทดสอบหาประสิทธิภาพของแผ่นกํา

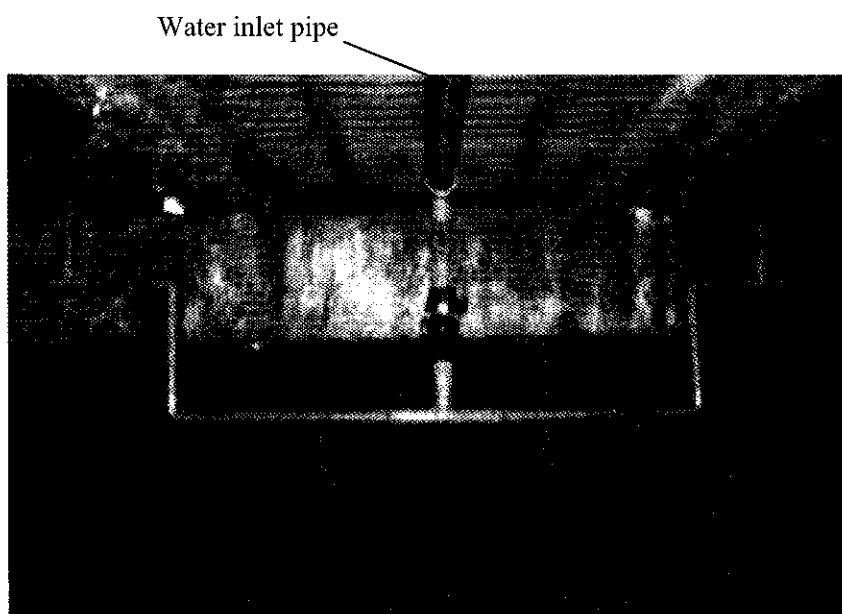
4.3 การติดตั้งและทดสอบประสิทธิภาพของระบบกําลูกสุกรในโรงเรือนคลอด

โดยปกติ บริษัทจะใช้งานเครื่องยนต์แก๊สซีวภาพเพื่อผลิตไฟฟ้าวันละ 21 ชั่วโมง (พักเครื่อง 3 ชั่วโมง) แต่จะใช้งานระบบกําลูกสุกรตลอดทั้งวัน การทดสอบหาประสิทธิภาพของระบบกําลูกสุกรสามารถทำได้โดยการทดลองเดินระบบกําลูกสุกรต่อเนื่อง 12 ชั่วโมง (15.00 น. - 02.00 น.) โดยทำการวัดอัตราการไหลของน้ำ อุณหภูมน้ำเข้าและออกโรงเรือน และอุณหภูมิที่ผิวของแผ่นกําทั้งโรงเรือน

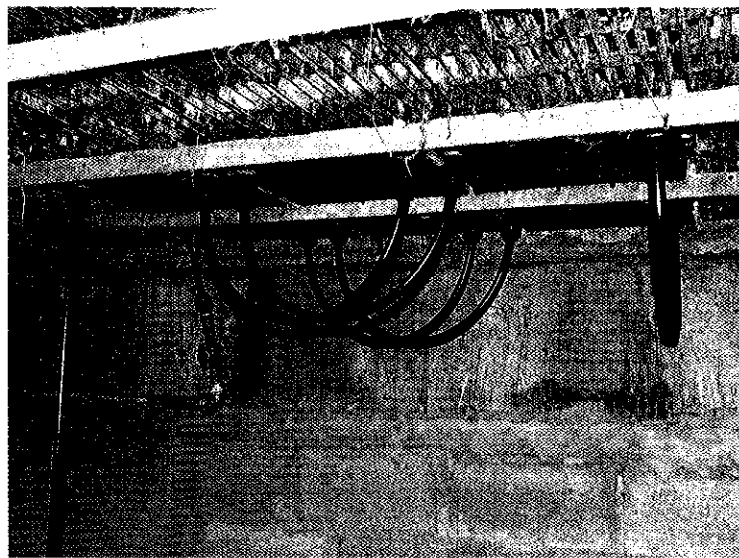
รูปที่ 4.5 แสดงลักษณะการติดตั้งแผ่นกําและระบบท่อของระบบกําลูกสุกร ที่ถูกติดตั้งในโรงเรือนคลอดของ บริษัท เอสพีเอ็ม อาหารสัตว์ จำกัด



(n)



(u)

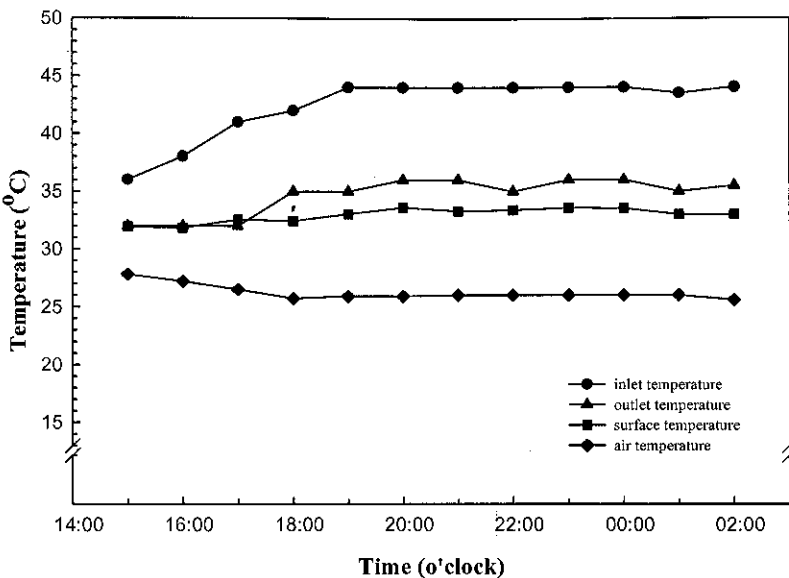


(ค)

รูปที่ 4.5 การติดตั้งแผ่นก๊าและระบบห่อในโรงเรือนคลอดของ บริษัท เอสพีเอ็น อาหารลัตต์ว จำกัด (ก) ผิวแผ่นก๊าด้านบน (ข) ท่อน้ำด้านล่าง (ค) ระบบห่อของชุดแผ่นก๊า

ประสิทธิภาพของระบบก๊าและระบบห่อสามารถอธิบายได้จากผลการทดสอบ ที่แสดงไว้ในรูปที่ 4.6 โดยการป้อนน้ำเข้าโรงเรือนด้วยอัตรา 40 L/min จาก ruth ขณะนี้ได้ว่า เมื่อเริ่มเดินเครื่องยนต์แก๊ส ชีวภาพและทำการเก็บข้อมูล (หลังจากการพักเครื่องยนต์ 3 ชั่วโมง) น้ำในถังเก็บมีอุณหภูมิ 36°C โดยอุณหภูมิที่ผิวแผ่นก๊าเฉลี่ย 32°C และอุณหภูมิโรงเรือนเฉลี่ย 28°C หลังจากนั้นอุณหภูมิของน้ำ ในถังและอุณหภูมิผิวแผ่นก๊าจะเพิ่มขึ้นเรื่อยๆ จนกระทั่งอุณหภูมิของน้ำด้านเข้าโรงเรือนจะถูกควบคุมไว้ที่ 44°C ทำให้อุณหภูมิเฉลี่ยที่ผิวของแผ่นก๊ามีค่าเป็น 33°C และอุณหภูมน้ำด้านออกจากรองเรือนเป็น 36°C โดยมีอุณหภูมิโรงเรือนเฉลี่ย 26°C

เมื่อพิจารณาถึงการถ่ายเทความร้อนในสภาวะคงที่พบว่า ระบบก๊าและระบบห่อ มีอัตราการถ่ายเทความร้อนต่อหน่วยพื้นที่ผ่านแผ่นก๊า (heat flux) เท่ากับ 0.88 kW/m^2 และมีอัตราการถ่ายเทความร้อนจากน้ำสู่ผิวแผ่นก๊าทั้งโรงเรือนเท่ากับ 23.2 kW เนื่องจากในสภาวะการทำงานของเครื่องยนต์แก๊สชีวภาพที่ 60 kW สามารถนำพลังงานความร้อนกลับมาใช้ประโยชน์ได้เท่ากับ 101.62 kW ดังนั้น ระบบก๊าและระบบห่อสามารถให้ความร้อนแก่โรงเรือนคลอดได้ 4.3 โรงเรือน



รูปที่ 4.6 ความสัมพันธ์ของอุณหภูมิน้ำด้านเข้าและด้านออกโรงเรือน อุณหภูมิพิวเพ่นกเกลี่ย และอุณหภูมิของโรงเรือนคลอด

โดยทั่วไปถูกสูกรในโรงเรือนคลอดต้องการอุณหภูมิในที่พักประมาณ $30 - 32^{\circ}\text{C}$ โดยพฤติกรรมของถูกสูกรในที่พักเป็นตัวบ่งชี้ถึงความพึงพอใจต่อสิ่งแวดล้อมที่ดีที่สุด (Zhang and Xin, 2005; Pandolfi and Da Silva, 2005) เมื่อถูกสูกรรู้สึกหนาวจะนอนการกลุ่มกัน แต่จะนอนแยกกันเมื่อรู้สึกร้อน รูปที่ 4.7 แสดงพฤติกรรมการนอนของถูกสูกรบนแพ่นกเกลี่ยที่ทำการทดลอง ซึ่งจะเห็นได้ว่า ถูกสูกรนอนอยู่บนแพ่นกเกลี่ยสบายโดยแสดงท่าทางการนอนแบบเหยียดขา และแนบจะไม่นอนทับกันเลย ดังนั้นจากผลการทดสอบจึงสามารถสรุปได้ว่า ระบบบกถูกสูกรที่พัฒนาขึ้นมาเป็นระบบบกถูกสูกรรูปแบบหนึ่งที่เหมาะสม และสามารถนำไปใช้ได้จริงในการบกถูกสูกรในโรงเรือนคลอด



รูปที่ 4.7 พฤติกรรมการนอนของลูกสุกรบนแผ่นก่อที่มีน้ำร้อน ไหลดผ่านในโรงพยาบาลคคลอด

4.4 การวิเคราะห์ต้นทุนและผลตอบแทนของระบบกลูโคสกร

- เงินลงทุนในการติดตั้งระบบกลูโคสกร

ค่าใช้จ่ายรวมในการก่อสร้างและติดตั้งระบบทำความร้อนสำหรับกลูโคสกร จำนวน 4 โรงพยาบาล

- แผ่นกกลูโคสกร จำนวน 672 แผ่น	672,000 บาท
- ชุดอุปกรณ์แลกเปลี่ยนความร้อน	120,000 บาท
- ถังเก็บน้ำร้อน	100,000 บาท
- ท่อนำ ข้อต่อ วาล์ว และอุปกรณ์	80,000 บาท
- ระบบควบคุม	50,000 บาท
- โรงพยาบาล	400,000 บาท
รวม	1,622,000 บาท

- ค่าใช้จ่ายสำหรับการกกลูโคสกรเมื่อใช้ระบบกลูโคสกรแบบไฟฟ้า

ค่าไฟฟ้าสำหรับกลูโคสกร จำนวน 4 โรงพยาบาล 650,000 บาทต่อปี

ดังนี้ ระยะเวลาคืนทุนของระบบกลูโคสกรอยู่ที่ 2.5 ปี โดยที่การคำนวณผลตอบแทนของระบบคิดเฉพาะการใช้ประโยชน์จากพลังงานความร้อนที่ได้จากระบบท่านนี้ ไม่รวมผลตอบแทนจากการผลิตไฟฟ้า

บทที่ 5

สรุป ปัญหาและข้อเสนอแนะ

5.1 สรุป

งานวิจัยนี้เป็นการศึกษาระบบททำความร้อนสำหรับก๊อกสูกรในโรงเรือนคลอด ซึ่งมีวัตถุประสงค์เพื่อออกแบบและทดสอบระบบก๊อกสูกรสำหรับใช้ในโรงเรือนคลอด โดยใช้ความร้อนเหลือทิ้งของเครื่องยนต์แก๊สชีวภาพ การศึกษานี้แบ่งการดำเนินงานออกเป็น 3 ขั้นตอน คือ 1) การศึกษาประสิทธิภาพของระบบผลิตไฟฟ้าร่วมกับพลังงานความร้อนด้วยแก๊สชีวภาพ เพื่อหาค่าพลังงานความร้อนเหลือทิ้งที่สามารถนำกลับมาใช้ประโยชน์ในระบบก๊อกสูกร 2) การศึกษาคุณสมบัติทางกายภาพของแผ่นก๊อกโดยการทดสอบในห้องปฏิบัติการ และ 3) การติดตั้งและทดสอบประสิทธิภาพของระบบก๊อกสูกรในโรงเรือนคลอด

องค์ประกอบสำคัญของระบบผลิตไฟฟ้าร่วมกับพลังงานความร้อนด้วยแก๊สชีวภาพ ที่ใช้ในการทดสอบ คือ เครื่องยนต์แก๊สชีวภาพ มุ่งเ不像ร์เน่ย์บัน่า เครื่องแยกเปลี่ยนความร้อน ถังน้ำ เป็นต้น ระบบผลิตไฟฟ้าร่วมกับพลังงานความร้อนนี้ ผลิตทั้งพลังงานไฟฟ้าสำหรับใช้ในฟาร์ม และน้ำร้อนสำหรับก๊อกสูกร โรงเรือนคลอด โดยพลังงานความร้อนที่ใช้ในระบบก๊อกสูกร คือ พลังงานความร้อนเหลือทิ้งจากน้ำหล่อเย็นและแก๊สไออกไซเดต์ของเครื่องยนต์แก๊สชีวภาพ

จากการทดลองเดินระบบผลิตไฟฟ้าร่วมกับพลังงานความร้อนพบว่า เครื่องยนต์แก๊สชีวภาพสามารถผลิตกำลังไฟฟ้าได้สูงสุด 75 kW โดยมีอัตราการสิ้นเปลืองเชื้อเพลิงเท่ากับ $2.17 \text{ m}^3/\text{min}$ เมื่อพิจารณาถึงประสิทธิภาพของระบบผลิตไฟฟ้าเพียงอย่างเดียวพบว่า สภาพการทำงานที่ 75 kW เป็นสภาวะที่ไม่เหมาะสมสำหรับการผลิตไฟฟ้าเพื่อใช้ในฟาร์ม เนื่องจากมีอัตราการสิ้นเปลืองแก๊สชีวภาพที่สูงมาก สภาวะการทำงานที่เหมาะสมสมสำหรับการผลิตไฟฟ้าคือ สภาวะการทำงานที่เครื่องยนต์ผลิตกำลังไฟฟ้าได้ 60 kW โดยมีค่า $\eta_{\text{electrical}}$ สูงที่สุดเท่ากับ 14 % และ $sfc_{\text{electrical}}$ เท่ากับ $1.22 \text{ m}^3/\text{kWh}$

ผลการทดสอบระบบผลิตไฟฟ้าร่วมกับพลังงานความร้อนแสดงให้เห็นว่า การผลิตไฟฟ้าร่วมกับพลังงานความร้อนทำให้ประสิทธิภาพโดยรวมของระบบเพิ่มขึ้น โดยสภาวะการทำงานของเครื่องยนต์แก๊สชีวภาพที่ 60 kW มีค่า η_{CHP} สูงที่สุดเท่ากับ 37.7% โดยมีค่า sfc_{CHP} เท่ากับ $0.45 \text{ m}^3/\text{kWh}$ และมีค่า η_{heating} เท่ากับ 23.7 % หรือมีค่าพลังงานความร้อนเหลือทิ้งที่นำกลับมาใช้ประโยชน์ได้เท่ากับ 101.62 kW และในสภาวะการทำงานนี้ พลังงานความร้อนที่ถ่ายเทให้กับน้ำหล่อเย็นและพลังงานความร้อนของแก๊สไออกไซเดต์ที่ดึงกลับมาได้มีค่าประมาณ 0.89 และ 0.8 kW ต่อ พลังงานไฟฟ้าที่ผลิตได้ 1 kW ตามลำดับ

ในการทดสอบหาคุณสมบัติทางกายภาพของแผ่นก๊อกที่ทำจากพลาสติกชนิด high-density polyethylene (HDPE) ขนาด 40 cm x 40 cm พบร่วมกับ แผ่นก๊อกมีค่าการนำความร้อน $0.58 \text{ W/m}^2\text{°C}$ และ มีความแข็งแรงมาก ซึ่งสามารถรับแรงกดได้สูงสุด 8.1 kN ดังนั้น แผ่นก๊อกสามารถนำมาใช้แทนพื้น ก๊อกของโรงเรือนคลอดได้ อีกทั้ง แผ่นก๊อกรับแรงดันน้ำได้เพียง 0.35 bar และจากการทดสอบ แผ่นก๊อก เพื่อหาความสัมพันธ์ระหว่างอัตราการไหลของน้ำผ่านแผ่นก๊อก และอุณหภูมิที่ผิวแผ่นก๊อก พบร่วมกับอัตราการไหลของน้ำไม่มีอิทธิพลต่อการเปลี่ยนแปลงอุณหภูมิที่ผิวแผ่นก๊อก โดยอุณหภูมิที่ผิว แผ่นก๊อกจะขึ้นอยู่กับอุณหภูมิของน้ำที่ไหลเข้า

ประสิทธิภาพของระบบทำความร้อน สามารถอธิบายได้จากผลการทดสอบกลูกสูตรใน โรงเรือนคลอด เมื่อป้อนน้ำอุณหภูมิ 44°C เข้าสู่โรงเรือนที่มีอุณหภูมิโรงเรือนเฉลี่ย 26°C ทำให้ อุณหภูมิที่ผิวของแผ่นก๊อกเฉลี่ยเป็น 33°C และอุณหภูมน้ำออกจากโรงเรือนเป็น 36°C เมื่อพิจารณาถึง การถ่ายเทความร้อนของระบบพบว่า ระบบกลูกสูตรมีอัตราการถ่ายเทความร้อนต่อหน่วยพื้นที่ ผ่านแผ่นก๊อกประมาณ 0.88 kW/m^2 และมีอัตราการถ่ายเทความร้อนจากน้ำสู่ผิวแผ่นก๊อกทั้งโรงเรือน ประมาณ 23.2 kW เนื่องจากพลังงานความร้อนของเครื่องยนต์แก๊สชีวภาพที่นำกลับมาใช้ประโยชน์ ได้มีค่าประมาณ 101.62 kW ดังนั้น ระบบกลูกสูตรนี้สามารถให้ความร้อนแก่โรงเรือนคลอดได้ 4.3 kW โรงเรือน และมีอัตราการกืนทุนที่ 2.5 ปี

จากการทดสอบข้างต้น ทำให้สามารถสรุปได้ว่า ระบบทำความร้อนสำหรับกลูกสูตรใน โรงเรือนคลอดที่ถูกพัฒนาขึ้นมา สามารถนำมาประยุกต์ใช้ได้อย่างมีประสิทธิภาพและน่าพอใจใน กระบวนการใช้งานจริง

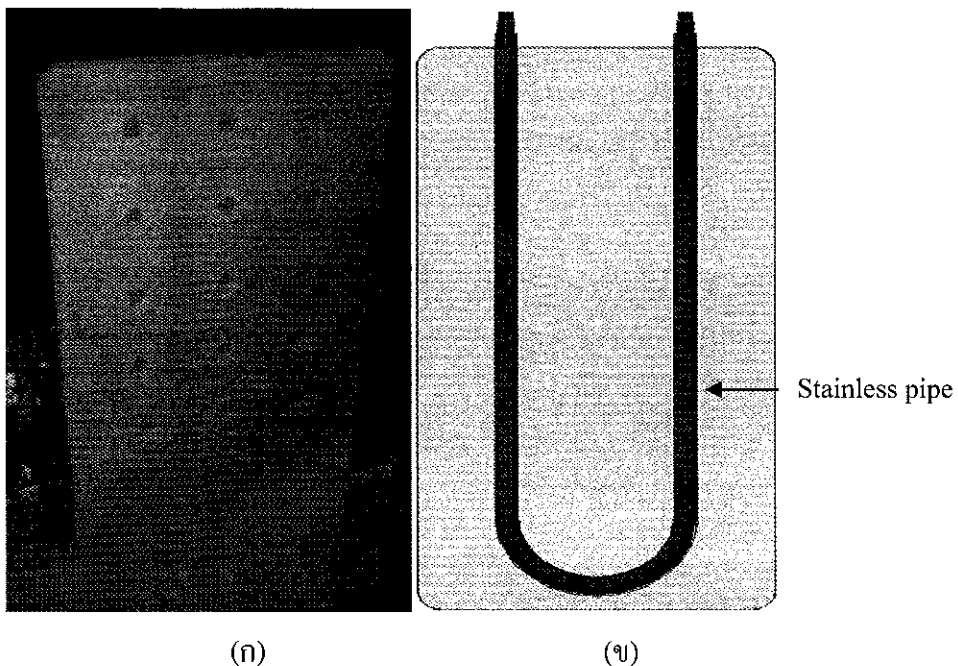
5.2 ปัญหาและข้อเสนอแนะ

จากการวิจัยในครั้งนี้ เพื่อเป็นแนวทางในการพัฒนาและปรับปรุงระบบทำความร้อนสำหรับ กลูกสูตรในโรงเรือนคลอดโดยใช้ความร้อนเหลือที่จากเครื่องยนต์แก๊สชีวภาพ ให้มีประสิทธิภาพ และการใช้ประโยชน์มากขึ้น จึงได้วิเคราะห์ปัญหาและข้อเสนอแนะดังนี้

- ระบบทำความร้อนที่พัฒนาขึ้นมา สามารถนำความร้อนเหลือที่จากเครื่องยนต์แก๊สชีวภาพ ยังเหลือพลังงานความร้อนที่ สูญเสียไปประมาณ 60 % เนื่องจากปริมาณพลังงานความร้อนเหลือที่ที่นำกลับมาได้นั้นขึ้นอยู่กับ ประสิทธิภาพของชุดแลกเปลี่ยนความร้อนที่ใช้ ดังนั้น การเพิ่มประสิทธิภาพของชุดเครื่อง แลกเปลี่ยนความร้อนให้สูงขึ้น จะสามารถนำพลังงานความร้อนเหลือที่มาใช้ประโยชน์ได้มากขึ้น

2. ระบบผลิตไฟฟ้ามีชั่วโมงการทำงานวันละ 21 ชั่วโมง ซึ่งเป็นสภาวะการทำงานที่หนักมาก สำหรับเครื่องยนต์แก๊สชีวภาพดัดแปลง ควรเพิ่มจำนวนเครื่องยนต์อีก 1 เครื่อง และลดลงใช้งานกัน วันละ 12 ชั่วโมง ซึ่งสามารถผลิตไฟฟ้าได้ตลอดทั้งวัน และยืดอายุการใช้งานของระบบผลิตไฟฟ้า ร่วมกับพัฒนาความร้อนได้

3. แผ่นกกลูกสุกรมีความต้านทานแรงดันน้ำได้เพียง 0.35 bar ซึ่งเป็นค่าที่น้อยมาก จึงควรทำการปรับปรุงคุณภาพแผ่นกกลูกสุกรให้สามารถรับแรงดันได้มากขึ้น รูปที่ 5.1 แสดงตัวอย่างแผ่นกกลูกสุกร แบบใหม่ทำจากพลาสติกชนิด High-density Polyethylene (HDPE) ขนาด 60 cm x 120 cm ถูกขึ้นรูป ให้มีความแข็งแรงสามารถรับน้ำหนักของลูกสุกรได้ ภายในมีห่อเหล็กสเตนเลส (stainless pipe) ขนาดเส้นผ่านศูนย์กลาง 1.25 cm วางเป็นรูปตัว U ทำหน้าที่เป็นท่อน้ำร้อน ในการใช้งานต้องเติมน้ำเข้าไปในแผ่นกกลูกสุกรให้เต็ม เพื่อให้สามารถนำความร้อนจากน้ำร้อนในท่อน้ำร้อนไปถ่ายเทให้กับผิวแผ่น กก



รูปที่ 5.1 แผ่นกกลูกสุกรแบบใหม่ (ก) แผ่นกกลูกสุกร ขนาด 60 cm x 120 cm
(ข) ส่วนประกอบของแผ่นกกลูกสุกร

บรรณานุกรม

1. กรมปศุสัตว์. (2548). การเดี่ยงสูกร. เอกสารคำแนะนำ. กระทรวงเกษตรและสหกรณ์.
2. กิตติ ดวงใจบุญ. 2548. การผลิตไฟฟ้าโดยใช้ก๊าซชีวภาพและการทำความเย็นแบบระบบไฮโดรเจนในโรงเดี่ยงสูกร. วิทยานิพนธ์ปริญญาวิศวกรรมศาสตรมหาบัณฑิต คณะพลังงานและวัสดุ มหาวิทยาลัยเทคโนโลยีพระจอมเกล้าธนบุรี
3. โครงการแก้ไขชีวภาพไทย-เยอรมัน. (2545). พลังงานและปุ๋ยชีวภาพจากบ่อแก๊สชีวภาพ. สำนักงานส่งเสริมการเกษตรแห่งเนื้อ กระทรวงเกษตรและสหกรณ์
4. จรรยา จันทศิริ และ วีรชัย อาจหาญ. (2546). การออกแบบและทดสอบระบบทำความร้อนสำหรับกลูกสูกรในโรงเรือนอนุบาล โดยใช้แก๊สชีวภาพ. วารสารเทคโนโลยีสุรนารี 10(4) 300-306
5. ณรงค์ฤทธิ์ มูลเจริญ และ พนง.คีรติ เกียรติศิริโภจน์. (2548). การนำความร้อนทึ้งจากไออกซีเจนจากการผลิตไฟฟ้าก๊าซชีวภาพในฟาร์มสูกรมาใช้ในระบบทำความเย็นแบบบูดซึม. การประชุมวิชาการการถ่ายทอดความร้อนและมวลในอุปกรณ์ด้านความร้อน ครั้งที่ 4 จังหวัดเชียงราย
6. ณัฐธิชา มะโน. 2548. ศักยภาพการใช้แก๊สชีวภาพจากโรงงานเปิ่มน้ำสำปะหลังในการผลิตไฟฟ้าและความร้อนร่วม. วิทยานิพนธ์ปริญญาวิศวกรรมศาสตรมหาบัณฑิต คณะพลังงานและวัสดุ มหาวิทยาลัยเทคโนโลยีพระจอมเกล้าธนบุรี
7. ชวัชชัย อัตถวินูลย์กุล. (2538). ทฤษฎีมอเตอร์ไฟฟ้ากระแสสลับ (AC MOTORS). ศูนย์ส่งเสริมอาชีวะ
8. บริษัท เอสพีเอ็ม อาหารสัตว์ จำกัด ดำเนินตอนทราย อำเภอปากท่อ จังหวัดราชบุรี
9. ประเทือง ผื่นแก้ว เดช ดำรงศักดิ์ และ ตะวัน สุจริตกุล. (2546). สถานการการทำงานที่เหมาะสมสำหรับระบบปรับอากาศแบบอัดไอขับ โดยเครื่องยนต์สันดาปภายในที่ใช้ก๊าซชีวภาพ เป็นเชื้อเพลิง. การประชุมวิชาการเครื่องข่ายวิศวกรรมเครื่องกลแห่งประเทศไทยครั้งที่ 17 จังหวัดปราจีนบุรี
10. สมบูรณ์ ศิริพรมงคลชัย. 2546. การปรับปรุงคาร์บูเรเตอร์สำหรับเครื่องยนต์สันดาปภายในที่ใช้แก๊สชีวภาพ. วิทยานิพนธ์ปริญญาวิศวกรรมศาสตรมหาบัณฑิต คณะวิศวกรรมศาสตร์ มหาวิทยาลัยเชียงใหม่

11. สมมาส แก้วล้วน พิชัย อัมภูมงคล และ สุนีรัตน์ พิพัฒน์โน้มย. (2549). การประเมินทางด้านเทคนิคและเศรษฐศาสตร์เพื่อนำก้าชชีวภาพจากฟาร์มเลี้ยงสัตว์ขนาดเล็กมาใช้กับเครื่องยนต์เพื่อการผลิตไฟฟ้า. การประชุมเชิงวิชาการเครือข่ายพัฒนาแห่งประเทศไทยครั้งที่ 2 มหาวิทยาลัยเทคโนโลยีสุรนารี จังหวัดนครราชสีมา
12. วีระชัยฟาร์ม ตำบลคลังมะนาว อำเภอปากห่อ จังหวัดราชบุรี
13. วีระพันธ์ เกียรติกัปตี และ ทรงชัย ใจสุข, (2538). การนำแก๊สชีวภาพไปใช้ประโยชน์. โครงการส่งเสริมการผลิตแก๊สชีวภาพในฟาร์มเลี้ยงสัตว์ หน่วยบริการก้าชชีวภาพสถาบันวิจัยและพัฒนาวิทยาศาสตร์และเทคโนโลยีมหาวิทยาลัยเชียงใหม่
14. de Baey-Ernsten, H., von der Haar, F., Bichmann, M. and Clausen, N. (1995). Heating systems for piglets in a practical comparison. Institute for Agricultural Process Engineering, University of Kiel, Kiel, Germany.
15. Big Dutchman, (2005). Floor systems for energetic sows and healthy piglets. Big Dutchman International GmbH. Germany.
16. Cronin, G., Simpson, G., Hemsworth, P., (1995). The effects of the gestation and farrowing environments on sow and piglet behaviour and piglet survival and growth in early lactation. Applied Animal Behaviour Science, 46, 175–192.
17. Liljedahl, J.B., Turnquist, P.K., Smith, D.W. and Hoki, M., (1996). Tractors and their power units (4th edition). American Society of Agricultural Engineering. USA.
18. MIK, (2007). Thermo W warm water heating panel. MIK International AG. Germany.
19. Mitzalf, K., (1988), Engine for biogas: theory, modification, economic operation. Germany.
20. Mount, E. (1963). Environmental temperature preferred by the young pig. Nature, 199, 48-99.
21. Pandorfí, H. and Da Silva, O., (2005). Evaluation of the behavior of piglets in different heating systems using analysis of image and electronic identification. Agricultural Engineering International: the CIGR Ejournal, 7, BC 03 021.

22. Vaidya, J. and Gregory, E., (2002). Advanced electric generator & control for high speed micro/mini turbine based power systems. PowerGen International Conference, Orlando, Florida, USA.
23. Weary, D. M., P. A. Phillips, E. A. Pajor, D. Fraser, and B. K. Thompson. (1998). Crushing of piglets by sows: Effects of litter features, pen features and sow behaviour. Applied Animal Behaviour Science, 61, 103–111.
24. Werner U., Stoehr U. and Hees N., (1989). Biogas plants in animal husbandry. A practical guide in Deutsche Gesellschaft fuer Technische Zusammenarbeit (GTZ), Germany.
25. Xin, H. and Zhang, Q., (1999). Preference for lamp or mat heat by piglets at cool and warm ambient temperatures with low to high drafts. Applied Engineering in Agriculture, 15(5), 547-551.
26. Xin, H., Zhou, H. and Bundy, S., (1997). Comparison of energy use and piglet performance between conventional and energy-efficient heat lamps. Applied Engineering in Agriculture, 13(1), 95-99.
27. Zhang, Q. and Xin, H. (2000). Modeling heat mat operation for piglet creep heating. Transactions of the ASAE, 43(5), 1261-1267.
28. Zhang Q. and Xin, H. (2005). Resting Behavior of Piglets in Farrowing Crates Equipped with Heat Mats. Applied Engineering in Agriculture, 21(6), 1067-1071.
29. Ziron, M. and Hoy, St., (2003). Effect of a warm and flexible piglet nest heating system – the warm water bed – on piglet behaviour, live weight management and skin lesions. Applied Animal Behaviour Science, 80, 9-18.

ภาคผนวก ก

การทดสอบความแข็งแรงของแผ่นก๊อก

ทฤษฎี

การทดสอบเพื่อหาความแข็งแรงของวัสดุด้วยการกด เป็นการทดสอบที่นิยมมากที่สุด การทดสอบนี้สามารถหาค่าความแข็งแรงภายใต้การกด (compress strength) ซึ่งเป็นคุณสมบัติที่สำคัญอย่างหนึ่งของวัสดุ ใน การทดสอบการกดนี้จะเป็นการให้ความเค้นในแนวแกนเดียว (uni-axial stress) แก่ชิ้นทดสอบ โดยความเค้นนี้จะเกิดจากแรงกดตามแนวแกน ซึ่งเป็นแรงภายนอกที่กระทำต่อชิ้นทดสอบ โดยแรงจะกระจายเฉลี่ยสม่ำเสมอต่อพื้นที่หน้าตัดของชิ้นทดสอบ ค่าความเค้นและความเครียดทางวิศวกรรม สามารถหาได้จากการสัมพันธ์ตามสมการดังต่อไปนี้

$$\text{ความเค้น (Stress)} \quad \sigma = \frac{F}{A} \quad (\text{ก.1})$$

$$\text{ความเครียด (Strain)} \quad \varepsilon = \frac{\Delta L}{L_0} \quad (\text{ก.2})$$

โดย F คือ แรงที่กระทำตั้งฉากกับหน้าตัด A

ΔL คือ ความยาวที่เปลี่ยนไปจากความยาวเดิม L_0

ในการที่จะหาความแข็งแรงของวัสดุ สามารถกระทำได้โดยการเพิ่มแรงที่กระทำต่อวัสดุทีะลงน้อย จนกระทำตั้งวัสดุเกิดการแตกหัก แรงกระทำสูงสุด F_{Max} ที่ทำให้วัสดุเกิดการแตกหักเป็นค่าที่นำไปใช้หาความแข็งแรงของวัสดุ โดยค่าความแข็งแรงภายใต้แรงกด (σ_M) สามารถหาได้จาก

$$\sigma_M = \frac{F_{Max}}{A_0} \quad (\text{ก.3})$$

โดย A_0 คือ พื้นที่หน้าตัดของวัสดุก่อนเกิดการยุบตัว

การพิจารณาความเค้นแบบนี้ เป็นการพิจารณาความเค้นทางวิศวกรรม (engineering stress) ซึ่งจะพิจารณาพื้นที่หน้าตัดให้คงที่ ส่วนค่าความเค้นจริง (true stress) นั้นจะพิจารณาพื้นที่หน้าตัดจริง ในขณะนั้น ๆ

สำหรับค่าการแอลตราห์โนะวัสดุแตกหักนั้น คือ ค่าความเครียดที่จุดแตกหัก ในการทดสอบครั้งนี้จะเป็นการทดสอบเพื่อหาว่า วัสดุจะสามารถรับแรงได้มากที่สุดเท่าใด โดยไม่ได้สนใจถึงการหักค่าการแอลตราห์โนะวัสดุ

จุดประสงค์ในการทดสอบ

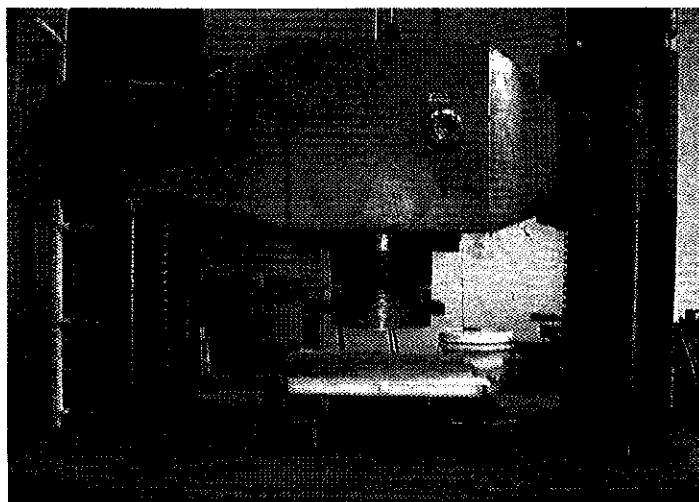
เพื่อหาแรงกดสูงสุดที่แผ่นกากลูกสูกรสามารถรับได้

อุปกรณ์และเครื่องมือ

1. แผ่นกากลูกสูกรขนาด กว้าง x ยาว x หนา 400 mm x 400 mm x 32 mm.

2. เครื่องทดสอบแรงกด (Universal Testing Machine, UTM) ขนาด 200 kN ดังแสดงในรูปที่

ก.1



(ก)



(ข)

รูปที่ ก.1 Universal Testing Machine ขนาด 200 kN (ก) การวางแผนกอกเพื่อทดสอบ

(ข) ส่วนแสดงผลและบันทึกข้อมูล

ขั้นตอนการทดสอบ

1. เปิดสวิตซ์เครื่องทดสอบแรงกด (UTM) เปิดสวิตซ์ระบบนำมันไ媳ดรอลิก และเปิดโปรแกรม WIN AG (เป็นโปรแกรมที่ใช้ร่วมกับเครื่องทดสอบแรงกด)
2. ติดตั้งหัวกดตามขนาดที่ทำการเลือกไว้ตามรูปที่ ก.1 โดยใช้หัวกดหน้าตัดฐานกว้าง 60 mm เส้นผ่านศูนย์กลาง 220 mm
3. วางแผ่นกอกที่จะทำการทดสอบลงบนคานที่ทำขึ้นมา เพื่อให้มีลักษณะการวางแผ่นกอกเหมือนกับการวางในโรงเรือนคลอดจริง โดยจัดให้แผ่นกอกอยู่ตรงกันกลางกับหัวกด
4. ป้อนค่าพารามิเตอร์ของแผ่นกอกในโปรแกรม WIN AG เช่น ขนาดความกว้าง = 400 mm, ความยาว = 400 mm และความหนา = 32 mm ในการทดสอบนี้จะใช้แรงกดสูงสุดที่ 50 kN และระยะการกดสูงสุด 50 mm แรงกดจากหัวกดจะเพิ่มขึ้นตามระยะของการกด และจะกดจนกว่าแผ่นกอกจะแตกหัก
5. ป้อนคำสั่งให้เครื่องทดสอบทำงานด้วยพังชันก์การกด โดยอัตโนมัติ จากนั้นป้อนคำสั่งเริ่มทดสอบ
6. สังเกตการณ์แตกหักของแผ่นกอก โดยคุณภาพที่ปรากฏบนจอคอมพิวเตอร์ เมื่อทดสอบเสร็จแล้วขัดเก็บข้อมูล
7. นำแผ่นกอกแผ่นใหม่มาทำการทดสอบ โดยทำตั้งแต่ขั้นตอนที่ 1-6 อีกครั้ง

ภาคผนวก ข

การทดสอบหาค่าการนำความร้อนของแผ่นกําลังสูง

ทฤษฎี

การนำความร้อน คือ การเคลื่อนที่ของความร้อนจากบริเวณที่มีอุณหภูมิสูงกว่าไปสู่บริเวณที่มีอุณหภูมิต่ำกว่า โดยที่ไม่มีการเคลื่อนไหวของโมเลกุลในวัสดุ การนำความร้อนในวัสดุเป็นสิ่งที่เราสามารถพบรได้ในชีวิตประจำวัน เช่น การนำความร้อนผ่านกระจกรถยนต์ เป็นต้น การศึกษาถึงหลักการของการนำความร้อนเป็นสิ่งจำเป็นต่องานหลาย ๆ ประเภท เพื่อประกอบการตัดสินใจในการเลือกใช้วัสดุให้เหมาะสมกับการใช้งานได้ รวมไปถึงการเลือกใช้วัสดุอย่างถูกต้องในการออกแบบเครื่องมือต่าง ๆ ทางวิศวกรรม

Joseph Fourier นักวิทยาศาสตร์ชาวฝรั่งเศส ได้ทำการศึกษาและทดลองเกี่ยวกับการนำความร้อนและได้ตั้งกฎฐานของการนำความร้อนขึ้น ซึ่งกล่าวว่า “อัตราการนำความร้อนในทิศทางใด ๆ จะเป็นสัดส่วนโดยตรงกับ พื้นที่ที่ตั้งฉากกับการนำและอัตราการเปลี่ยนแปลงของอุณหภูมิต่อระยะทางในทิศทางนั้น” โดยเจียนเป็นสมการ ได้ดังนี้

$$q_x = -kA \frac{\partial T}{\partial x} \quad (\text{J.1})$$

โดย q_x คือ อัตราการถ่ายเทความร้อน, W

k คือ ค่าการนำความร้อน, W/(m°C)

A คือ พื้นที่ที่ตั้งฉากกับการเคลื่อนที่ของความร้อน, m²

$\frac{\partial T}{\partial x}$ คือ อัตราการเปลี่ยนแปลงของอุณหภูมิต่อระยะทาง, °C/m

ดังนี้ หากทราบอุณหภูมิที่ตำแหน่งต่าง ๆ และค่าการนำความร้อนของวัสดุแล้ว จะสามารถคำนวณหาค่าของอัตราการถ่ายเทความร้อนที่ตำแหน่งใด ๆ ของวัสดุ โดยใช้สมการของฟูเรียร์ได้

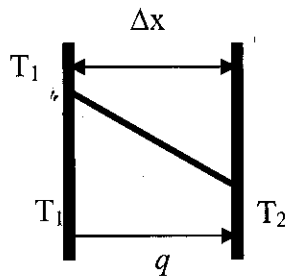
พื้นฐานสำคัญในการศึกษาการนำความร้อน คือ การวิเคราะห์ค่าการนำความร้อน (thermal conductivity) ของวัสดุ ซึ่งในการทดลองนี้จะวิเคราะห์ค่าการนำความร้อนแบบง่าย โดยศึกษาจากการนำความร้อนผ่านผนังร้าน

การนำความร้อนผ่านผนังรวม แบ่งออกเป็น 2 แบบ ดังนี้

1. การนำความร้อนผ่านผนังชั้นเดียว

ในการวิเคราะห์จะกำหนดเงื่อนไขในการนำความร้อน ดังนี้

- 1) เป็นการนำความร้อนในมิติเดียว (one dimensional)
- 2) พิจารณาอุณหภูมิของผนังอยู่ในสถานะคงตัว (steady state)
- 3) ถือว่าผนังเป็นวัสดุเอกพันธ์ (homogeneous material)
- 4) ค่าการนำความร้อนของวัสดุมีค่าคงที่ (constant thermal conductivity)
- 5) อุณหภูมิในทิศทางตั้งฉากกับทิศทาง x มีค่าเท่ากันตลอดหน้าตัด (constant uniform temperature)



รูปที่ ๑ การนำความร้อนผ่านผนังชั้นเดียว

จากกฎการนำความร้อนของฟูเรียร์
$$q = -kA \left(\frac{\partial T}{\partial x} \right)$$

จากเงื่อนไขข้อ 1 ค่า T ขึ้นกับทิศทาง x อย่างเดียว จะได้ว่า

$$q = -kA \left(\frac{dT}{dx} \right) \quad (\text{ก.2})$$

จัดรูปสมการใหม่

$$q dx = -kA dT \quad (\text{ก.3})$$

Integrate สมการทั้งสองด้าน

$$q \int_{x_1}^{x_2} dx = -kA \int_{T_1}^{T_2} dT \quad (\text{ก.4})$$

จะได้

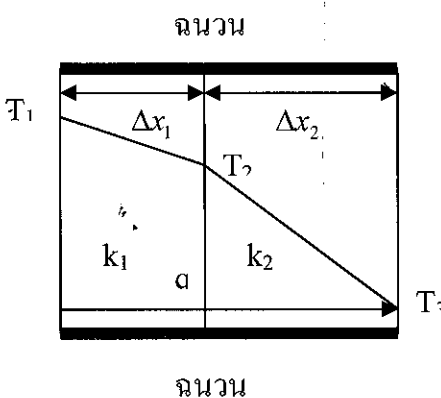
$$q = -kA \frac{(T_2 - T_1)}{(x_2 - x_1)} = -kA \frac{(T_2 - T_1)}{\Delta x} \quad (\text{ก.5})$$

หรือ จดให้อู๊ในรูป

$$q = \frac{T_1 - T_2}{\Delta x / kA} \quad (\text{ข.6})$$

พจน์ $\Delta x / kA$ ในสมการ (ข.6) เป็นพจน์ของสิ่งที่ต้านการนำความร้อนหรือเรียกว่าการต้านทานความร้อน (thermal resistance, R_{th}) จะเห็นว่าการต้านทานความร้อนจะมีค่าแปรผันกับความหนาของผนัง และแปรผันกับค่าพื้นที่หน้าตัดและค่าการนำความร้อน ซึ่งแสดงว่าถ้าความหนาและพื้นที่หน้าตัดของผนังเท่ากัน อัตราการถ่ายเทความร้อนจะแปรผันกับค่าการนำความร้อนของวัสดุเท่านั้น

2. การนำความร้อนผ่านผนังหลายชั้นและใช้วัสดุต่างกัน (composite plane wall)



รูปที่ ข.2 การนำความร้อนผ่านผนังหลายชั้นและวัสดุต่างกัน

จากรูป การถ่ายเทความร้อนในสภาพวงคงตัว ตรงทางเข้าและทางออกสามารถคำนวณได้จาก

$$q = \frac{T_1 - T_2}{\Delta x_1 / k_1 A} = \frac{T_2 - T_3}{\Delta x_2 / k_2 A} \quad (\text{ข.7})$$

รวมสมการทั้งสองจะได้ว่า

$$T_1 - T_2 = q(\Delta x_1 / k_1 A) \quad (\text{ข.8})$$

$$T_2 - T_3 = q(\Delta x_2 / k_2 A) \quad (\text{ข.9})$$

สมการ (ข.8) รวมกับสมการ (ข.9) จะได้

$$(T_1 - T_2) + (T_2 - T_3) = q(\Delta x_1 / k_1 A) + q(\Delta x_2 / k_2 A) \quad (\text{ข.10})$$

$$T_1 - T_3 = q[(\Delta x_1 / k_1 A) + (\Delta x_2 / k_2 A)] \quad (\text{ข.11})$$

$$q = \frac{T_1 - T_3}{(\Delta x_1/k_1 A) + (\Delta x_2/k_2 A)} \quad (\text{ก.12})$$

$$\frac{q}{A} = \frac{T_1 - T_3}{(\Delta x_1/k_1) + (\Delta x_2/k_2)} \quad (\text{ก.13})$$

นิยาม ค่าสัมประสิทธิ์ของการถ่ายเทความร้อน (Overall heat transfer coefficient, U) ว่า

$$U = \frac{1}{A \sum R_{th}} \quad (\text{ก.14})$$

ดังนั้นจะได้

$$\frac{q}{A} = U(\Delta T)_{overall} \quad (\text{ก.15})$$

$$q = UA(\Delta T)_{overall} \quad (\text{ก.16})$$

ค่าสัมประสิทธิ์ของการถ่ายเทความร้อน เป็นตัวชี้ว่าในวัสดุรวมทั้งหมดมีการนำความร้อนดีเพียงใด

จุดประสงค์

1. เพื่อหาค่าการนำความร้อน (thermal conductivity, k) ของแผ่นกอก

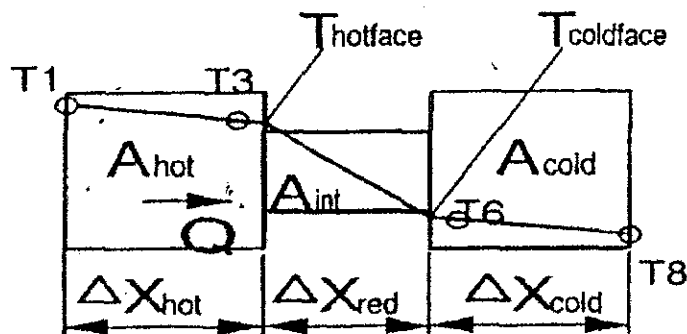
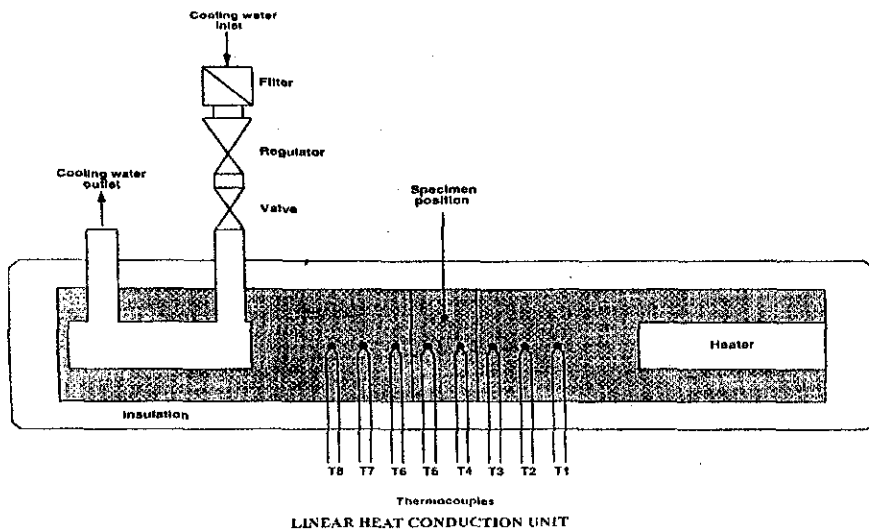
2. เพื่อให้เข้าใจถึงกฎมูลฐานของฟูเรียร์ และนำมาใช้หาอัตราการนำความร้อนผ่านชั้นทดลองพนังร้าบที่อัตราการนำความร้อนคงที่

3. เพื่อวัดค่าอุณหภูมิในการนำความร้อนที่สภาวะคงตัว เมื่อให้พลังงานความร้อนผ่านชั้นส่วนทดลองเป็นค่าที่ต่างกัน

อุปกรณ์การทดลอง

1. ชิ้นทดสอบของแผ่นกอก

2. เครื่องมือวัดค่าการถ่ายเทความร้อน (Heat Transfer Service Unit H110) ดังรูปที่ ข.3



รูปที่ ข.3 เครื่อง Heat Transfer Service Unit H110

ผลค่าของอุณหภูมิสามารถหาได้จากความสัมพันธ์ของฟูเรียร์ ดังนี้

$$\Delta T = \left(\frac{1}{A} \right) \frac{\dot{Q} \Delta x}{k}$$

โดย ค่าของ ΔT จะอยู่ในแต่ละช่วงของพื้นที่ A ดังนั้นสามารถแยกคิดค่า Thermal conductivity เป็นส่วน ๆ ได้ดังนี้

$$\text{ส่วนของ Heater} \quad \frac{\Delta T_{hot}}{\Delta x_{hot}} = \frac{\dot{Q}}{k_{hot} A_{hot}}$$

$$\text{ส่วนของชิ้นทดสอบ} \quad \frac{\Delta T_{int}}{\Delta x_{int}} = \frac{\dot{Q}}{k_{int} A_{int}}$$

$$\text{ส่วนของ Cooler} \quad \frac{\Delta T_{cold}}{\Delta x_{cold}} = \frac{\dot{Q}}{k_{cold} A_{cold}}$$

ขั้นตอนการทดลองหาการถ่ายเทความร้อนผ่านแผ่นเหล็กชั้นและเป็นวัสดุต่างชนิดกัน (conduction along a composite bar)

1. เตรียมเครื่องมือการทดลอง โดยต่อสายวัดอุณหภูมิ T_1 , T_2 , T_3 , T_6 , T_7 และ T_8 เข้ากับตัวเครื่อง
2. ทาสารต้านความร้อน (heat sink compound) ที่หน้าตัดทั้งสองด้านของชิ้นทดสอบ เพื่อบังกันการเกิดช่องว่าง (air gap) ระหว่างหน้าสัมผัสของวัสดุทั้งสองด้าน
3. วางชิ้นทดสอบตรงกลางระหว่างทองเหลืองค้าน heater และ cooler
4. เปิดสวิตซ์เครื่อง
5. เปิดวาล์วน้ำหล่อเย็นเพื่อควบคุมอุณหภูมิของแผ่นด้าน cooler วัดอัตราการไหลของน้ำหล่อเย็น
6. ปรับปุ่มควบคุมความต่างศักย์ (voltage control) ไปตามค่าที่ต้องการทดสอบ
7. หมุนปุ่มวัดค่าอุณหภูมิไปที่ T_1 ร่องกระทั้งแนวใจว่าอุณหภูมิเข้าสู่สภาวะคงตัวหรือมีค่าคงที่
8. หมุนสวิตซ์เลือกอ่านค่าอุณหภูมิทั้ง 6 จุด (T_1 , T_2 , T_3 , T_6 , T_7 และ T_8)
9. บันทึกค่าลงในตารางทั้งอุณหภูมิและปริมาณความร้อน ค่าของ V และ I อาจไม่ตรงกับที่ตั้งเอาไว้ตอนแรก ให้บันทึกค่าสุดท้ายที่ปราศจาก เมื่ออ่านค่าอุณหภูมิทั้ง 6 จุดเสร็จ
10. ปรับปุ่มควบคุมความต่างศักย์ไปที่ค่าอื่น ๆ ที่ต้องการแล้วทำการขั้นตอนที่ 7-9 อีกครั้ง
11. เปลี่ยนชื้นงานทดสอบ ทำตามขั้นตอนที่ 2-10 อีกครั้ง
12. เสร็จแล้วปิดสวิตซ์และปิดวาล์วน้ำหล่อเย็น ทำความสะอาดเครื่องมือทุกชิ้นและบริเวณที่ทำการทดลอง

អាណាពាសាខ្មែរ

ຕາງ່ານີ້ແລ້ວມີການອະນຸມາດີເປັນກົງ

Sample No.	Diameter (mm)	Thickness (mm)	Electrical Power (W)	Voltage (V)	Ampere (A)	T1 (°C)	T2 (°C)	T3 (°C)	T6 (°C)	T7 (°C)	T8 (°C)
1	25.00	1.50	2.65	5.00	0.53	43.30	42.90	42.70	28.50	28.10	28.00
2	25.00	1.50	2.65	5.00	0.53	43.50	43.10	42.90	28.60	28.20	28.10
3	25.00	1.50	6.80	8.00	0.85	70.50	69.40	68.60	29.80	29.00	28.40
4	25.00	1.50	6.80	8.00	0.85	70.60	69.60	68.70	30.00	29.20	28.60
Distance from T1 (m)						0.0000	0.0150	0.0300	0.0465	0.0615	0.0765

การคำนวณหาค่าการนำความร้อนของแผ่นก๊อก

1. พื้นที่หน้าตัดของชิ้นทดสอบ

$$\begin{aligned} A &= \frac{\pi D^2}{4} \\ &= \frac{\pi \times 0.025^2}{4} \\ &= 0.000491 \text{ m}^2 \end{aligned}$$

2. อัตราการถ่ายเทความร้อนเฉลี่ยจาก heater

$$Q = V \times I$$

$$\begin{array}{ll} \text{ชิ้นทดสอบที่ 1 และ 2;} & Q = 5 \times 0.53 \\ & = 2.65 \text{ W} \end{array}$$

$$\begin{array}{ll} \text{ชิ้นทดสอบที่ 3 และ 4;} & Q = 8 \times 0.85 \\ & = 6.8 \text{ W} \end{array}$$

3. หา T_{hotface} และ T_{coldface}

$$\begin{aligned} T_{\text{hotface}} &= T_3 - \frac{(T_2 - T_3)}{2} \\ T_{\text{coldface}} &= T_6 + \frac{(T_6 - T_7)}{2} \\ \text{ค่า } Q &= 2.65 \text{ W}; \quad T_{\text{hotface}} = 42.8 - \frac{(43 - 42.8)}{2} \\ &= 42.7 \text{ } ^\circ\text{C} \end{aligned}$$

$$\begin{aligned} T_{\text{coldface}} &= 28.55 + \frac{(28.55 - 28.15)}{2} \\ &= 28.75 \text{ } ^\circ\text{C} \end{aligned}$$

ดังนั้น

$$\begin{aligned} \Delta T_{\text{int}} &= T_{\text{hotface}} - T_{\text{coldface}} \\ &= 42.7 - 28.75 \\ &= 13.95 \text{ } ^\circ\text{C} \\ \text{ค่า } Q &= 6.8 \text{ W}; \quad T_{\text{hotface}} = 68.65 - \frac{(69.5 - 68.65)}{2} \end{aligned}$$

$$= 68.225 \text{ } ^\circ\text{C}$$

$$T_{coldface} = 28.55 + \frac{(28.55 - 28.15)}{2}$$

$$= 28.75 \text{ } ^\circ\text{C}$$

ดังนั้น

$$\Delta T_{int} = T_{hotface} - T_{coldface}$$

$$= 68.225 - 28.75$$

$$= 39.475 \text{ } ^\circ\text{C}$$

4. ค่าการนำความร้อน

$$k_{int} = \frac{Q \Delta X_{int}}{A_{int} (T_{hotface} - T_{coldface})}$$

$$\begin{aligned} \text{ค่า } Q &= 2.65 \text{ W} ; \\ &= \frac{Q \Delta X_{int}}{A_{int} \Delta T_{int}} \\ &= \frac{2.65 \times 0.0015}{0.000491 \times 13.95} \\ &= 0.58 \text{ W/m}^\circ\text{C} \end{aligned}$$

$$\begin{aligned} \text{ค่า } Q &= 6.8 \text{ W} ; \\ &= \frac{Q \Delta X_{int}}{A_{int} \Delta T_{int}} \\ &= \frac{6.80 \times 0.0015}{0.000491 \times 39.475} \\ &= 0.526 \text{ W/m}^\circ\text{C} \end{aligned}$$

ภาคผนวก ค

การคำนวณอัตราการถ่ายเทความร้อนของระบบกําลຸກສຸກໃນໂຮງເຮືອຄລອດ

$$\text{อัตราการถ่ายเทความร้อน } Q = kA \frac{\Delta T}{\Delta x}$$

โดย Δx คือ ความหนาระหว่างผิวค้างนอกและค้างในของแผ่นกํາ

k คือ ค่าการนำความร้อนของแผ่นกํາ

ΔT คือ ผลต่างอุณหภูมิของผิวค้างนอกและค้างในของแผ่นกํາ

อัตราการถ่ายเทความร้อนต่อหนึ่งหน่วยพื้นที่ (heat flux)

$$q = \frac{Q}{A} = k \frac{\Delta T}{\Delta x}$$

$$k = 0.58 \text{ W/m}^{\circ}\text{C}$$

$$\Delta x = 0.007 \text{ m}$$

$$q = (0.58 \text{ W/m}^{\circ}\text{C}) \frac{(43.9 - 33.3^{\circ}\text{C})}{(0.007 \text{ m})}$$
$$= 878 \text{ W}/^{\circ}\text{C}$$

พื้นที่ผิวของแผ่นกํາ 1 แผ่น = 0.16 m^2 และภายใน 1 ໂຮງເຮືອມີແຜ່ນກົກທັງໝົດ 168 ແຜ່ນ

พื้นที่ถ่ายเทความร้อนທັງໝົດ = $168 \text{ m} \times 0.16 \text{ m} = 26.88 \text{ m}^2$

ดังนั้น อัตราการถ่ายเทความร้อนเฉลี่ยຕ່ອງໂຮງເຮືອ $Q = qA$

$$= 878 \text{ W}/^{\circ}\text{C} \times 26.88 \text{ m}^2$$

$$= 23608.32 \text{ W}$$

$$= 23.6 \text{ kW / ໂຮງເຮືອ}$$

เนื่องจากพลังงานความร้อนของเครื่องยนต์แก๊สซิวภาพที่นำกลับมาใช้ประโยชน์ได้มีค่า 101.62 kW ดังนั้น ระบบกํາລຸກສຸກสามารถจ่ายพลังงานความร้อนໄດ້ $\frac{101.62}{23.6} \approx 4.3$ ໂຮງເຮືອ

ประวัตินักวิจัย

ผู้ช่วยศาสตราจารย์ ดร.วีรชัย อาจหาญ เกิดเมื่อวันที่ 26 มิถุนายน 2513 จังหวัดสิงห์บุรี สำเร็จการศึกษาระดับปริญญาตรี หลักสูตรวิทยาศาสตรบัณฑิต(เกษตรวิชาน) ระดับปริญญาโท หลักสูตรวิศวกรรมศาสตรมหาบัณฑิต (วิศวกรรมเกษตร) จากมหาวิทยาลัยเกษตรศาสตร์ และสำเร็จการศึกษาระดับปริญญาเอก Ph.D. (Agricultural and Forest Engineering) จาก University of Tsukuba ประเทศญี่ปุ่น ในปี พ.ศ. 2544 ปัจจุบันดำรงตำแหน่ง หัวหน้าสาขาวิชาวิศวกรรมเกษตร และหัวหน้าหน่วยปฏิบัติการวิศวกรรมพลังงานและสิ่งแวดล้อม สำนักวิชาวิศวกรรมศาสตร์ มหาวิทยาลัยเทคโนโลยีสุรนารี มีผลงานวิชาการ/ผลงานวิจัย ด้านพลังงานและสิ่งแวดล้อม โดยเฉพาะทางด้านพลังงานทดแทนและการกำจัดของเสีย